

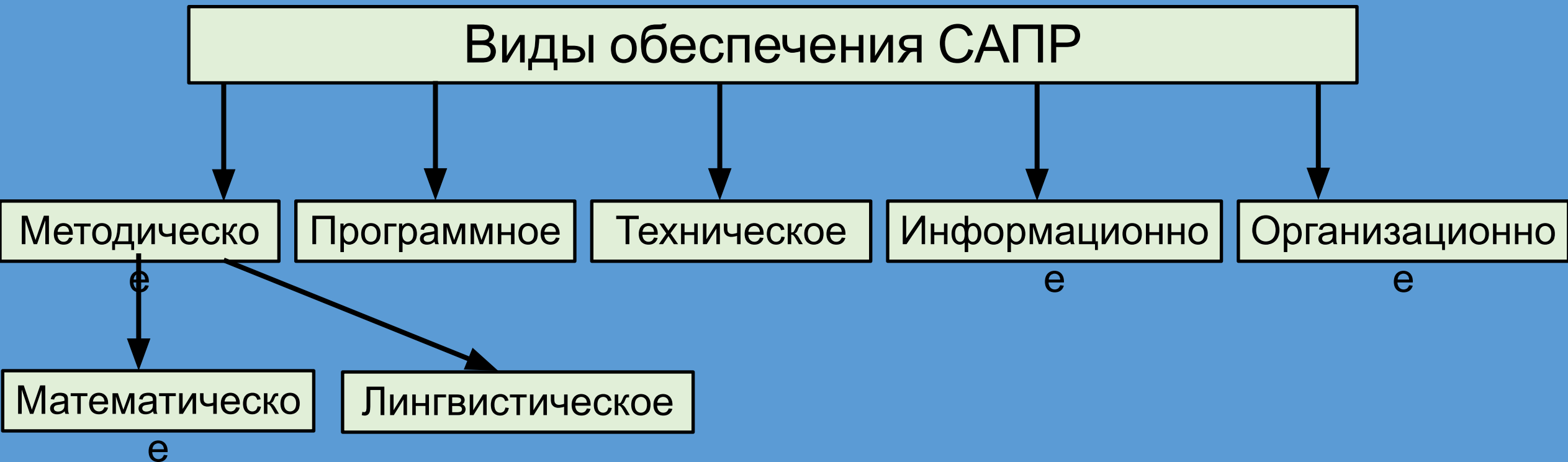
ОСОБЕННОСТИ САПР

- *Возможность комплексного проектирования РЭС, т.е. возможность тесного взаимодействия не только отдельных процедур, но и этапов проектирования. Например, схемотехнического и конструкторского этапов .*
- *Интерактивный режим проектирования, при котором осуществляется непрерывный процесс диалога «человек — машина».*
- *Возможность имитационного моделирования в условиях работы, близких к реальным. Имитационное моделирование дает возможность предвидеть реакцию проектируемого объекта на самые различные возмущения, позволяет провести испытания различных вариантов решения и выбрать лучший.*
- *Значительное усложнение программного и информационного обеспечения. Создание новых языков, банков данных, своих систем принятия решений, программ проектирования*
- *Значительное усложнение технических средств. Требуются ЭВМ высокой производительности, многомашинные комплексы, разветвленная система периферийных устройств.*

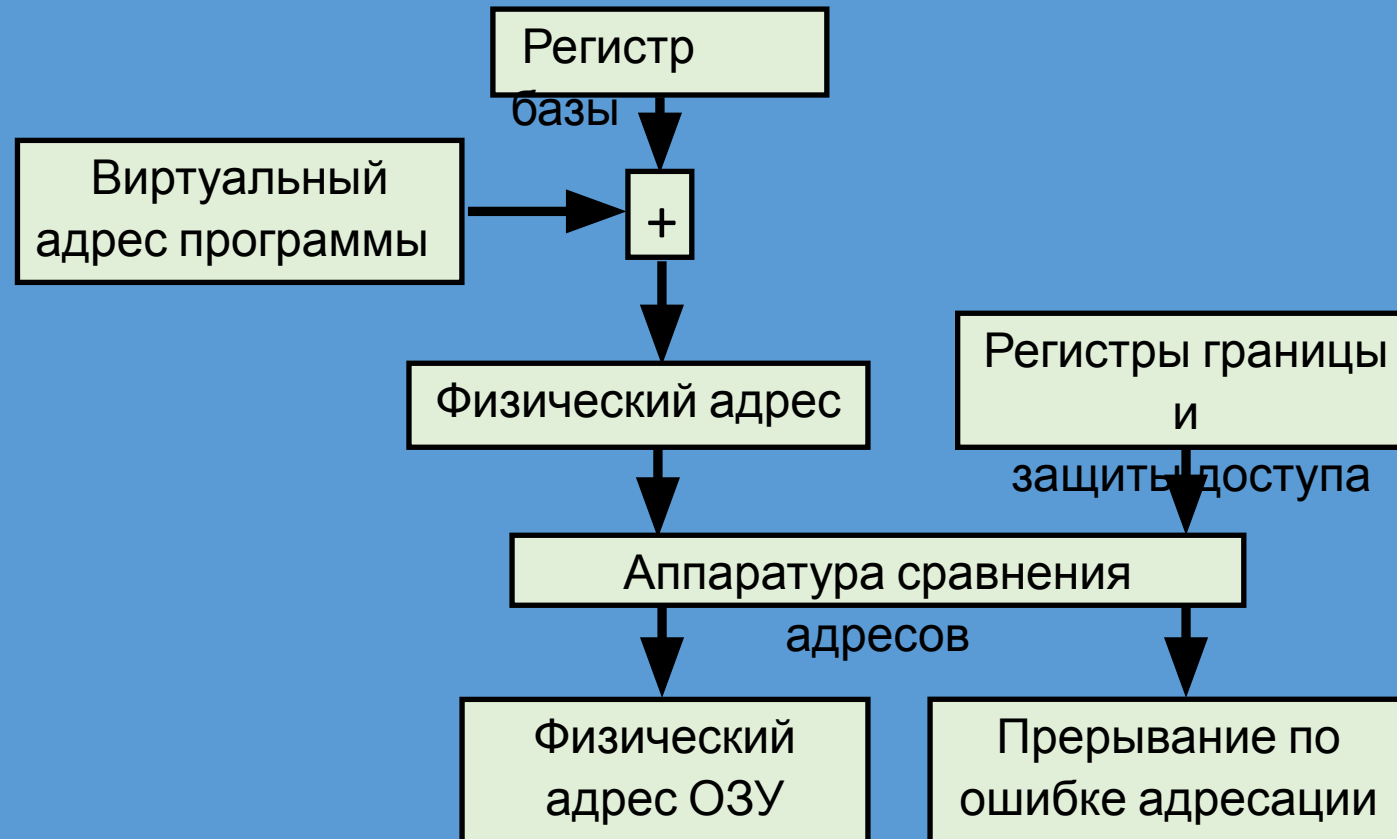
Отличие рабочих станций от персональных компьютеров

- В РС используется RISC- процессор, т.е. процессор с сокращенным набором команд и повышенным быстродействием*
- Все современные РС имеют большой объем ОЗУ и работают под управлением сложных многозадачных операционных систем*
- РС имеет мощные графические процессоры с поддержкой высокоскоростной и высококачественной графики*
- В базовый комплект РС встраивается аппаратура высокоскоростной связи со стандартной ЛВС – сетевой адаптер*

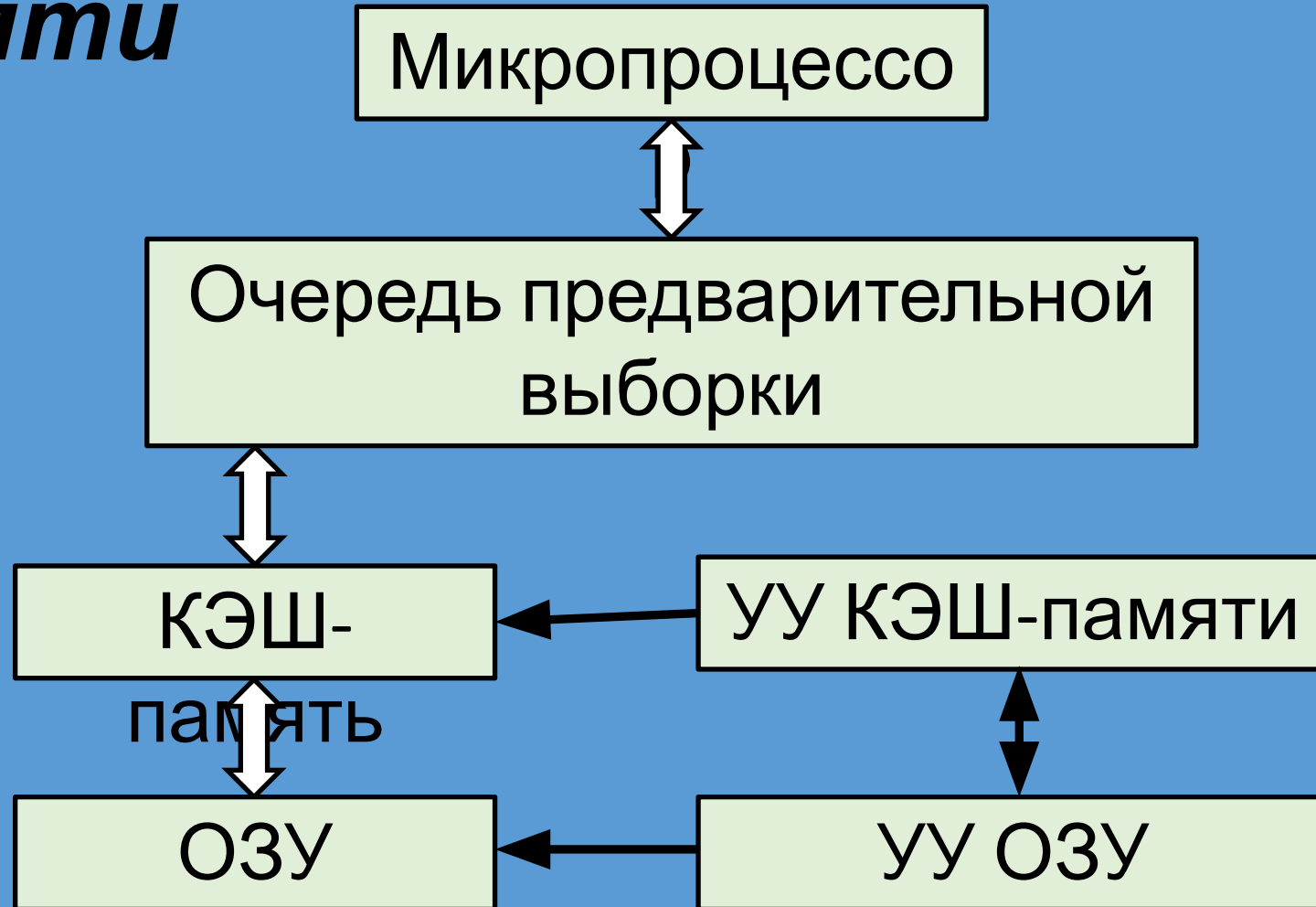
Структурная схема САПР



Функциональная схема ОЗУ

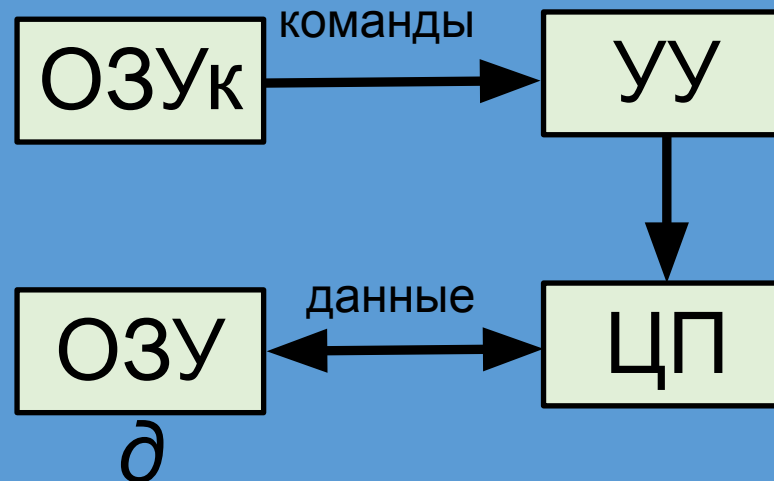


Структурная схема оперативной памяти



Фон - неймановская архитектура

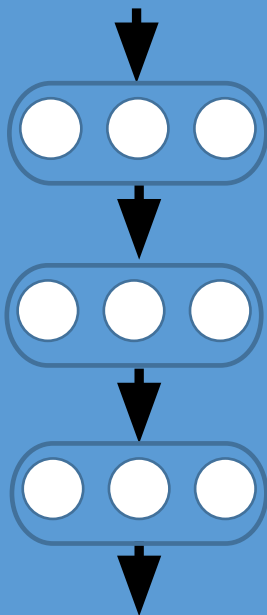
ЭВМ



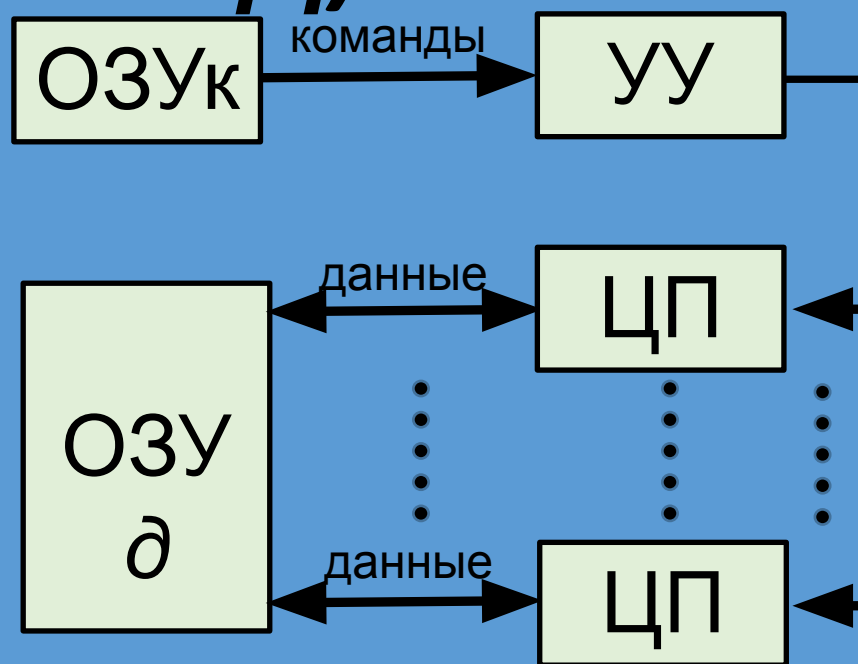
● выполняемые операторы
▼ потоки команд и данных
УУ устройство управления

ОЗУк ОЗУ команд
ОЗУ_д ОЗУ данных
ЦП центральный процессор

ЭВМ с одиночным потоком команд и с множественными потоками данных (ОКМД)

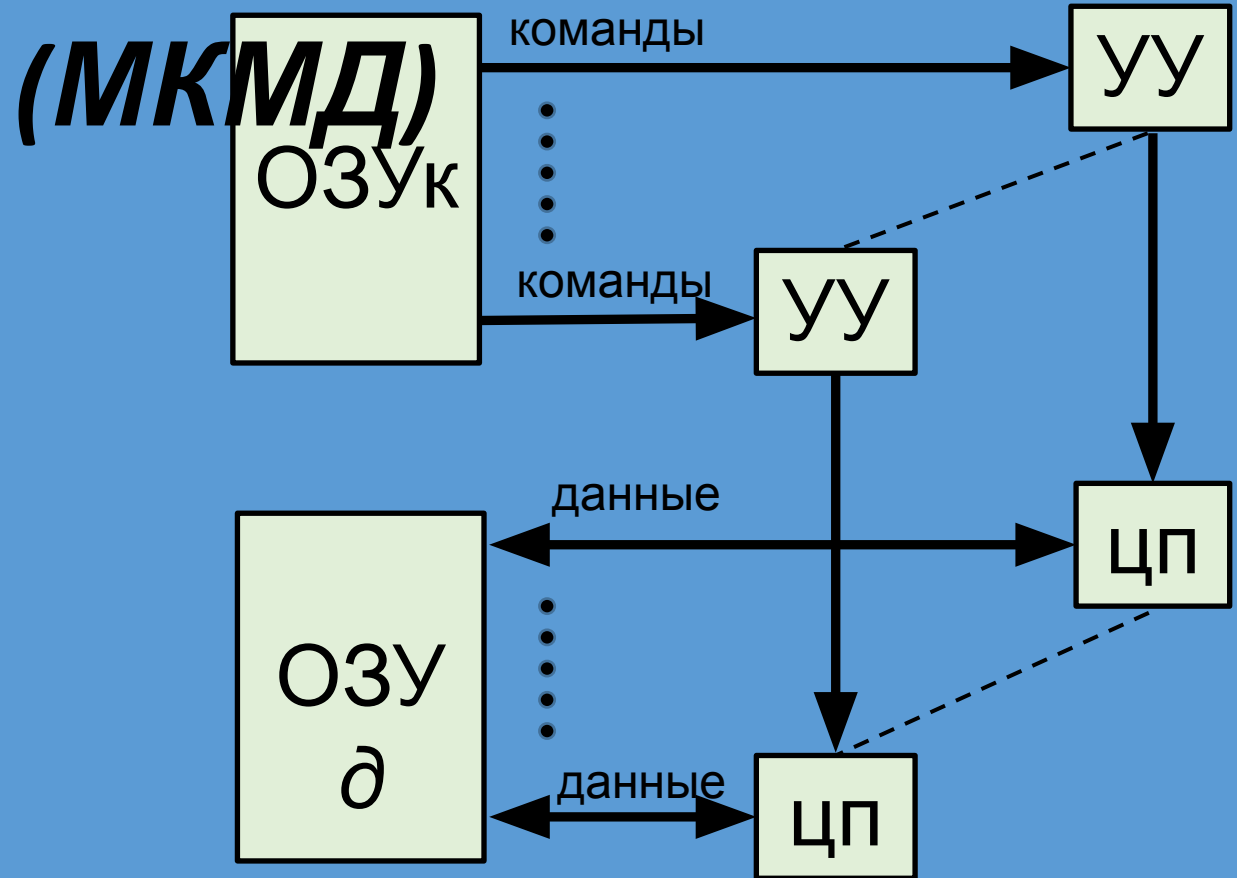
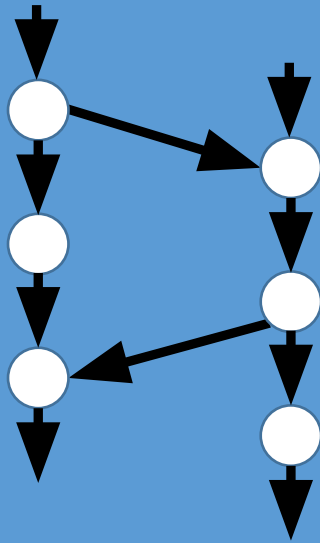


(ОКМД)



ЭВМ с множественными потоками команд и

с множественными потоками данных



Суперкомпьютерный комплекс "Ломоносов"



Суперкомпьютер «Ломоносов», установленный в Московском университете в 2009 году, относится к уникальным системам высшего диапазона производительности. В настоящее время он содержит 6654 вычислительных узла, более 94000 процессорных ядер, обладает пиковой производительностью 1,37 Пфлоп/с. Реальная производительность системы на тесте Linpack равна 674 Тфлоп/с, что позволило ему занять в июне 2011 года 13-ое место в списке Top500 самых мощных компьютеров мира.

Периферийное оборудование САПР

Периферийное оборудование ЭВМ – это совокупность технических и программных средств, обеспечивающих взаимодействие ЭВМ с пользователем и внешней средой, а также хранение, подготовку и преобразование информации к виду, удобному для ввода – вывода, который

По программному обслуживанию периферийные устройства САПР делятся на два класса **растровые** и **координатные** (векторные).

В растровых устройствах выводится мозаичный рисунок из отдельных точек – пикселей или ПЭЛов по типу телевизионной развертки. При этом осуществляется последовательный перебор элементов мозаики и выделение пикселей, составляющих изображение. Время вывода постоянно, не зависит от сложности рисунка и определяется только числом элементов и скоростью их

При **векторном** способе осуществляется вычерчивание линий, составляющих изображение. Эти линии получаются в результате интерполяции графической информации, т.е. реальный рисунок совпадает с выводным в некоторых точках. Чем больше точек, тем точнее рисунок.

Все периферийные устройства делятся на три

1. Средства ввода – вывода с машинных носителей:

- ❖ накопители на магнитных дисках;
- ❖ накопители на магнитных лентах (стримеры)

2. Средства ввода – вывода с документов:

- ❖ принтеры;
- ❖ графопостроители;
- ❖ сканеры;
- ❖ планшеты и др.

3. Средства непосредственного взаимодействия с ЭВМ:

- ❖ устройства отображения алфавитно – цифровой и графической информации (дисплеи, проекционные системы и др.);
- ❖ акустические устройства ввода – вывода информации;
- ❖ устройства связи с реальными объектами (датчики, исполнительные устройства);
- ❖ средства ручного ввода информации(алфавитно - цифровая клавиатура, различные планшеты и манипуляторы (мышь, джойстик и др.)

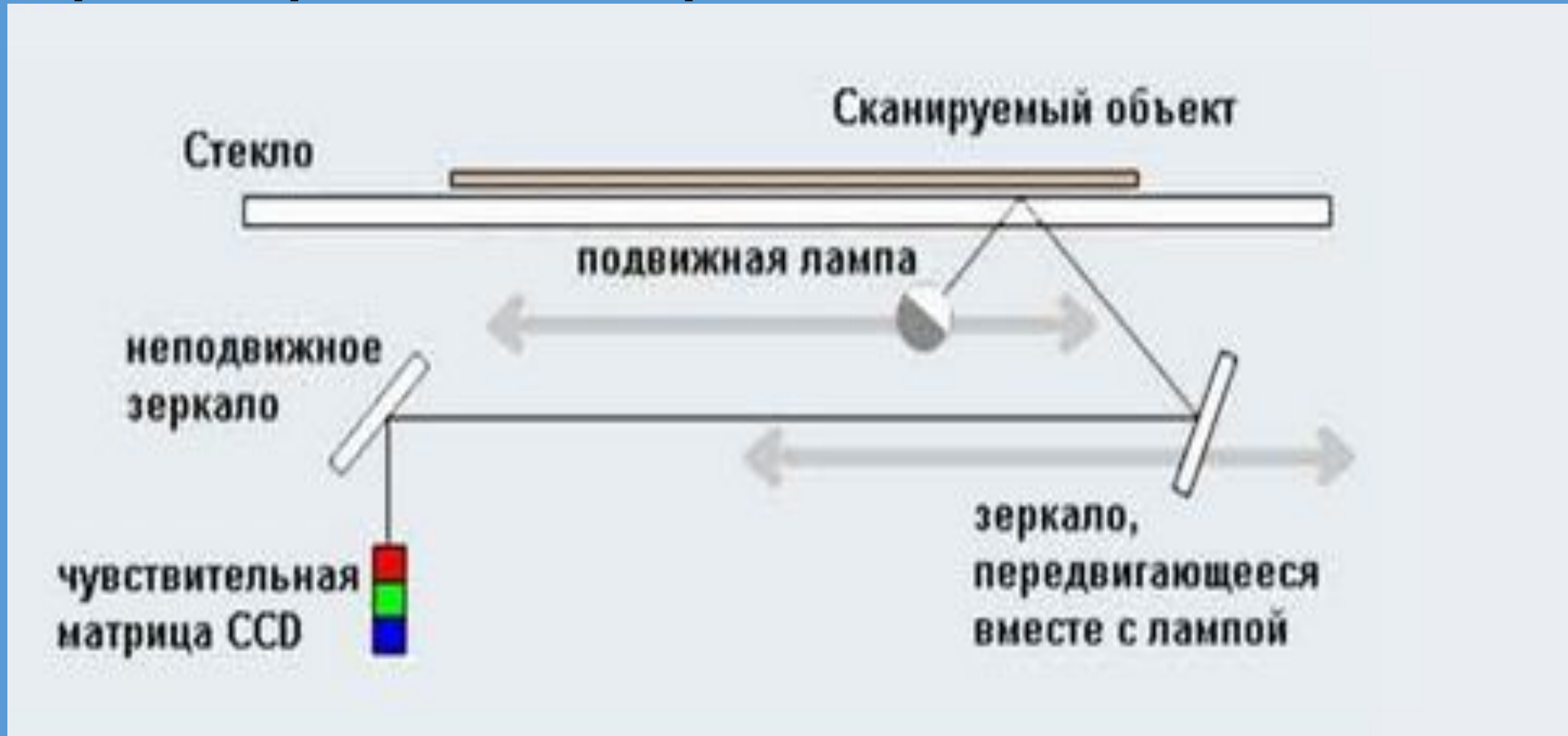
Современный стример с картриджем к нему



Сканеры

Сканером называется устройство, позволяющее вводить в компьютер в графическом виде текст, рисунки, слайды, фотографии и др.

Принцип работы сканера с ПЗС (CCD)-технологией



Принцип работы сканера с КДИ (CIS)-технологией

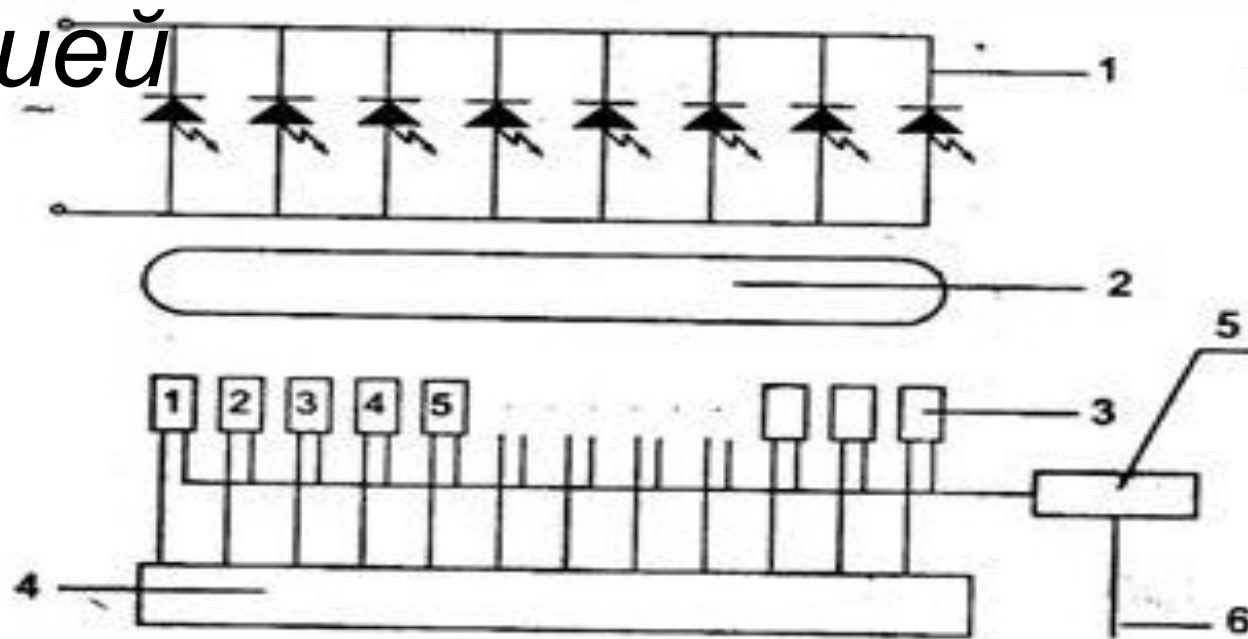
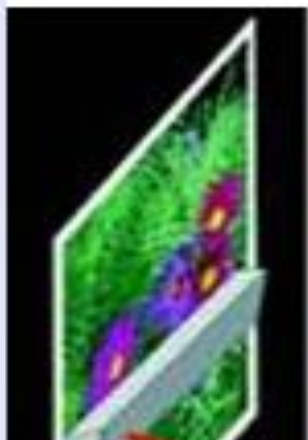


Рис. 2.19. Устройство сканирующей головки:
1 — набор светодиодов; 2 — линзы; 3 — фотоэлементы;
4 — регистр сдвига; 5 — видеоусилитель; 6 — выход (АЦП)



Сравнительная характеристика ПЗС и КДИ сканеров

Достоинства КДИ сканеров

- **Меньшие габариты.** Сканеры, использующие технологию КДИ, имеют меньшие размеры и вес, чем сканеры на основе ПЗС.
- **Меньшая стоимость.** Вместо объектива, зеркал, призмы и самого фотоэлемента в этих сканерах используется только КДИ-линейка, что позволяет значительно снизить стоимость сканеров такого типа.
- **Меньшая потребляемая мощность.** Это достигается за счет применения светодиодов вместо лампы с холодным катодом. Если для ПЗС-сканера нормальная потребляемая мощность 12 Вт, то для КДИ-сканера — 2,5 Вт.
- **Работа в экстремальных условиях.** КДИ-сканеры гораздо менее чувствительны к внешним условиям.

Достоинства ПЗС

- **Лучшая глубина резкости.** Глубина резкости КДИ-сканеров $\pm 0,3$ мм, тогда как для сканеров с ПЗС она равна ± 3 мм. Это означает, что трехмерные предметы, находящиеся на расстоянии 3 мм от общего уровня, будут нормально отсканированы ПЗС-сканером, а изображение, полученное КДИ-сканером, будет нерезким и размытым.

- **Дольше срок службы.** Сканер на основе ПЗС обеспечивает стабильное и неизменное качество в течение 10 000 часов работы, тогда как у КДИ-сканеров после 500 часов работы происходит падение яркости на величину до 30%.

- **Лучшая чувствительность к оттенкам.** ПЗС-сканеры различают уровни оттенков с погрешностью $\pm 20\%$, в то время как КДИ-сканеры — $\pm 40\%$. Соответственно, передача деталей у ПЗС-сканеров будет значительно лучше.

- **Меньшая чувствительность к посторонней засветке,** так как у ПЗС-сканеров короче

светочувствительная матрица

Принтеры

ТИП

Достоинств

Недостатк

и

Матричный

- ✓ Можно печатать сразу несколько
- ✓ Не требовательны в эксплуатации, могут печатать на поверхности любой бумаги
- ✓ Низкая себестоимость печати одной копии

- Медленная и шумная работа
- Плохое качество печати

Струйный

- ✓ Относительно невысокая стоимость
- ✓ Возможность печати цветных изображений и сверхкачественной фотопечати
- ✓ Относительно тихая работа
- ✓ Низкое потребление энергии

- Дороговизна расходных материалов (картриджей)
- Высокая себестоимость одной копии

Тип

Лазерный

Достоинства

✓ Высокая скорость печати

✓ Большой объем печати

✓ Низкий уровень шума

✓ Стойкость напечатанных копий к воздействию света и воды

✓ Низкая себестоимость одной копии

Недостатки

▪ Высокая цена

▪ Незначительное излучение

Плоттер

Плоттеры – устройства вывода информации из ПК, выполняющие преобразование и запись графических данных на соответствующий носитель

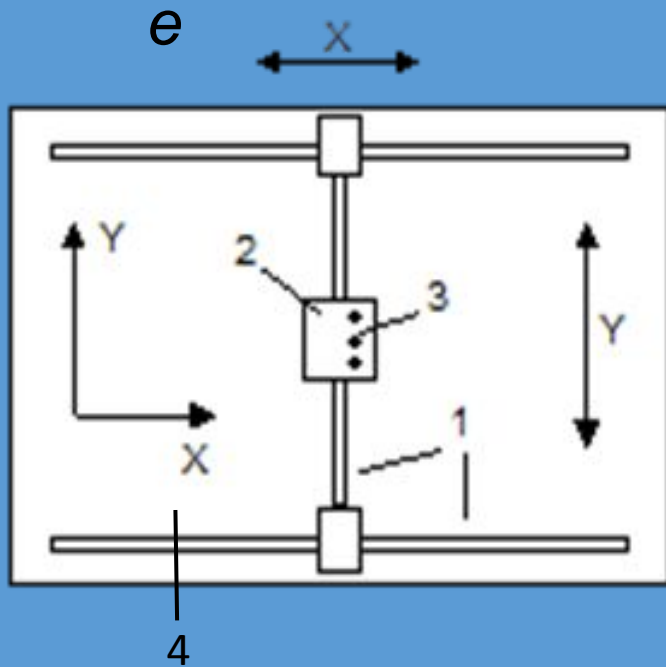
В качестве носителей обычно используется бумага (писчая, чертежная, картографическая), картон, пленки, кальки и др.

Плоттеры применяются в системах автоматического проектирования с соответствующими графическими программами (CAD) и языками взаимодействия системного процессора с плоттерами, содержащими инструкции по перемещению пера из одной точки в другую, поднятию и опусканию пера и т.д.

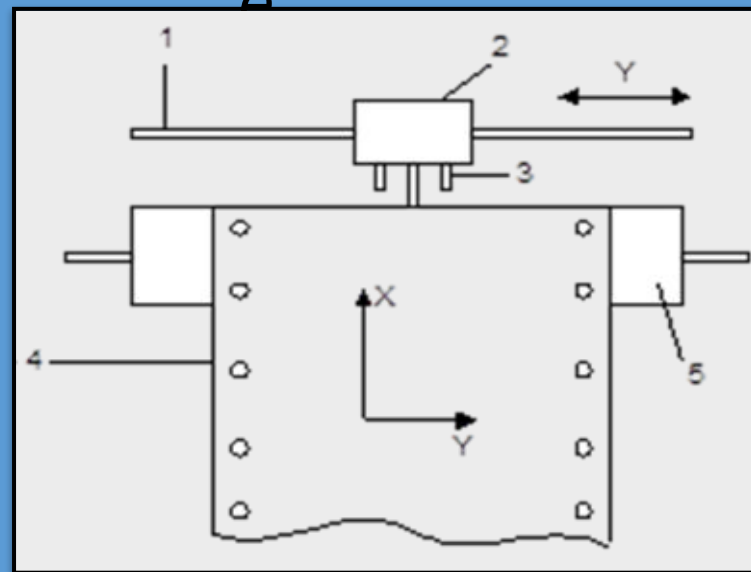
Плоттеры используют несколько форматов бумаги А0-А4. Чем больше размер бумаги, тем дороже плоттер. Поэтому различают крупноформатные (А0-А1), среднеформатные (А1-А2) и малоформатные (А3-А4) плоттеры.

По конструкции плоттеры подразделяются на:

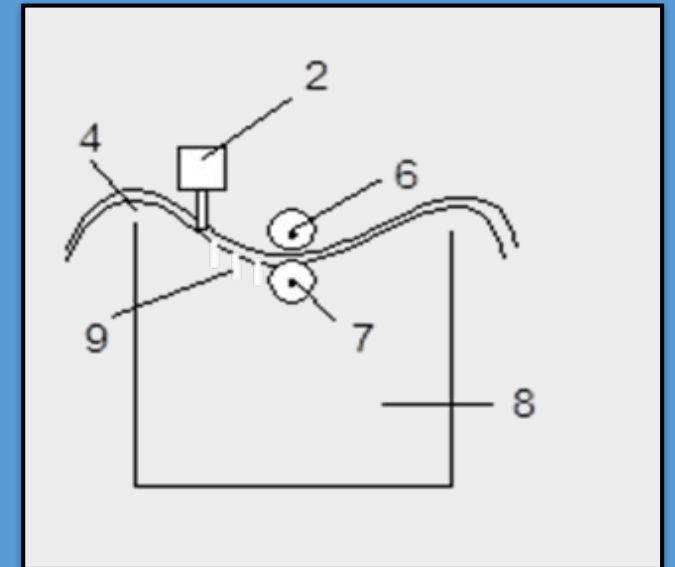
планшетны



барабанны



роликовы



1 – направляющие; 2 – пишущий узел (каретка); 3 – перья; 4 – бумага; 5 – барабан; 6 – прижимной ролик; 7 – падающий ролик; 8 – вакуум; 9 – вакуумные отверстия (присоски).

Барабанный плоттер



Планшетный плоттер



В зависимости от принципа образования графической информации (ГИ) различают векторные и растровые плоттеры.

В векторных перьевых плоттерах ГИ формируется как совокупность отрезков прямых линий (интерполяция). При построения изображений используются перьевые или шариковые рапидографы, карандаши, фломастеры.

Растровые плоттеры унаследовали особенности конструкций принтеров. Они обеспечивают изображение путем использования построчного или постраничного вывода элементов этого изображения на носитель информации.

По способу печати растровые плоттеры делятся на:

струйные;

лазерные;

светодиодные;

фотоплоттер

ы.

Основные технические характеристики

плоттер

- ✓ тип плоттера (планшетный, барабанный, струйный);
- ✓ количество пишущих элементов (4, 6, 8, 10);
- ✓ максимальный размер рабочего поля, в мм (210×970, 297 × 420, 432 × 594 и т.д.);
- ✓ точность позиционирования, в мм (± 0.1 , ± 0.2 , ± 0.3);
- ✓ емкость буферной памяти, в Кбайтах (например, 1, 2, 18, 32);
- ✓ скорость черчения, в мм/с (например, 150, 250, 400, 500);
- ✓ масса плоттера, в кг;
- ✓ потребляемая мощность

Лингвистическое обеспечение САПР

Лингвистическое обеспечение САПР – это совокупность языков, используемых в процессе разработки и эксплуатации САПР.

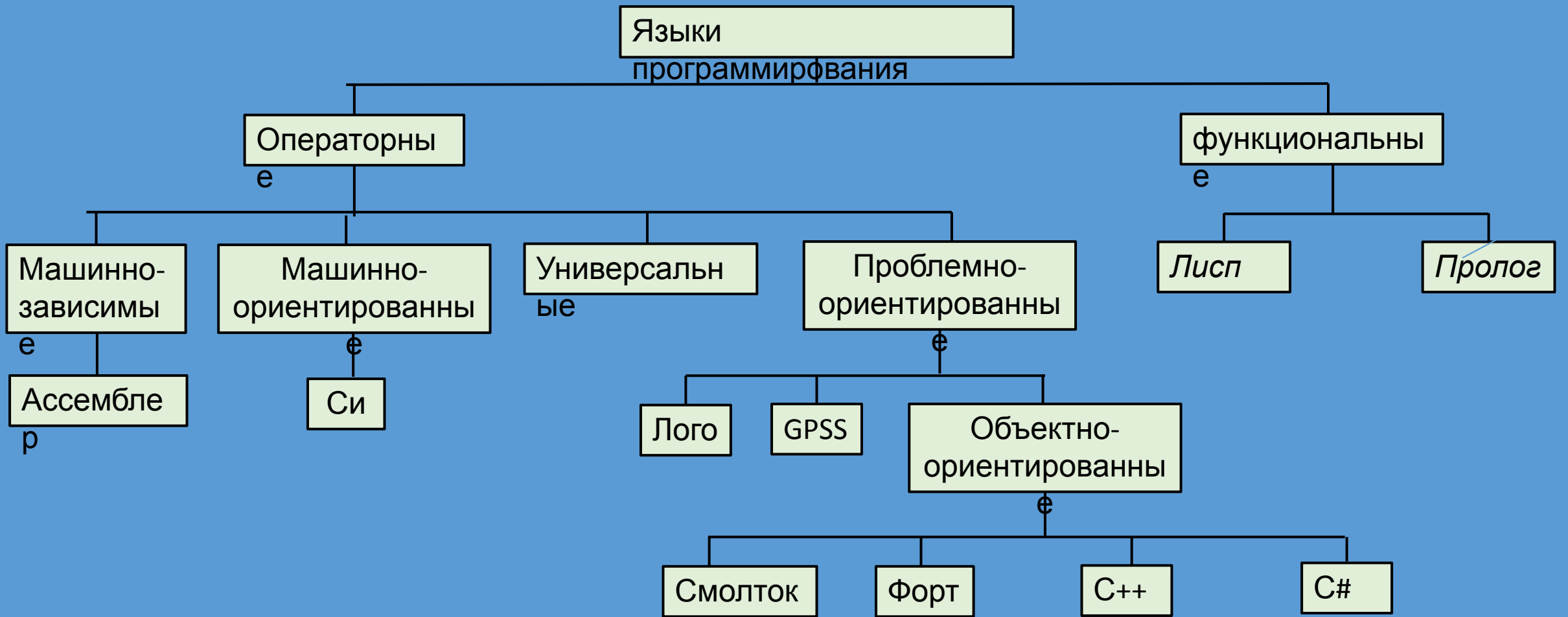
Лингвистическое обеспечение САПР состоит из языков программирования, проектирования и управления.

***Языки программирования** служат для разработки и редактирования системного*

и программного обеспечения САПР. Они базируются на алгоритмических

***Языки проектирования** – это проблемно – ориентированные, служащие для обмена информации об объектах и процессе проектирования между пользователем и ЭВМ.*

***Языки управления** служат для создания команд, управляющих работой САПР.*



Ассемблер, большая часть включена в Си, используется в основном для программирования микропроцессоров.

В языке **C** объединены достоинства языка низкого уровня – ассемблера и мощных выразительных средств языков высокого уровня. Разработан в 1972 г. Он послужил главным инструментом для создания ОС UNIX и MS DOS.

Универсальные языки: бейсик, паскаль, Fortran. Язык **Фортран** является первым универсальным языком (1954). Наиболее эффективен при численных расчетах, прост

по структуре и эффективен при выполнении программ. Наиболее популярная **Паскаль** ~~Фортран~~ создавался для учебных целей. Сейчас используется для разработки системных и прикладных программ для ПЭВМ.

Бэйсик – основное достоинство – простота, превосходное средство для начинающих программистов. Он работает в режиме интерпретации. Он принят во многих учебных заведениях, как базовый при начальном изучении программирования.

Проблемно-ориентированные языки

Лого – реализован на принципе интерпретации, используется для создания сложных электронных игрушек. Разрабатывался в Америке и Японии. Игрушки с интеллектуальными наклонностями

GPSS исследует класс моделей массового обслуживания (для работы с очередями, выборки данных).

C# (C sharp) – имеет более компактный код. Недостаток объектно-ориентированных языков – замедленное выполнение программ из-за их динамических связей и сложность трансляторов. В C# эта проблема решается.

Смолток предназначен для решения нечисловых задач при построении систем искусственного интеллекта.

Форт – объектно-ориентированный язык, имеет высокое быстродействие и компактный машинный код.

Для разработки искусственного интеллекта используются **функциональные** языки Пролог и Лисп.

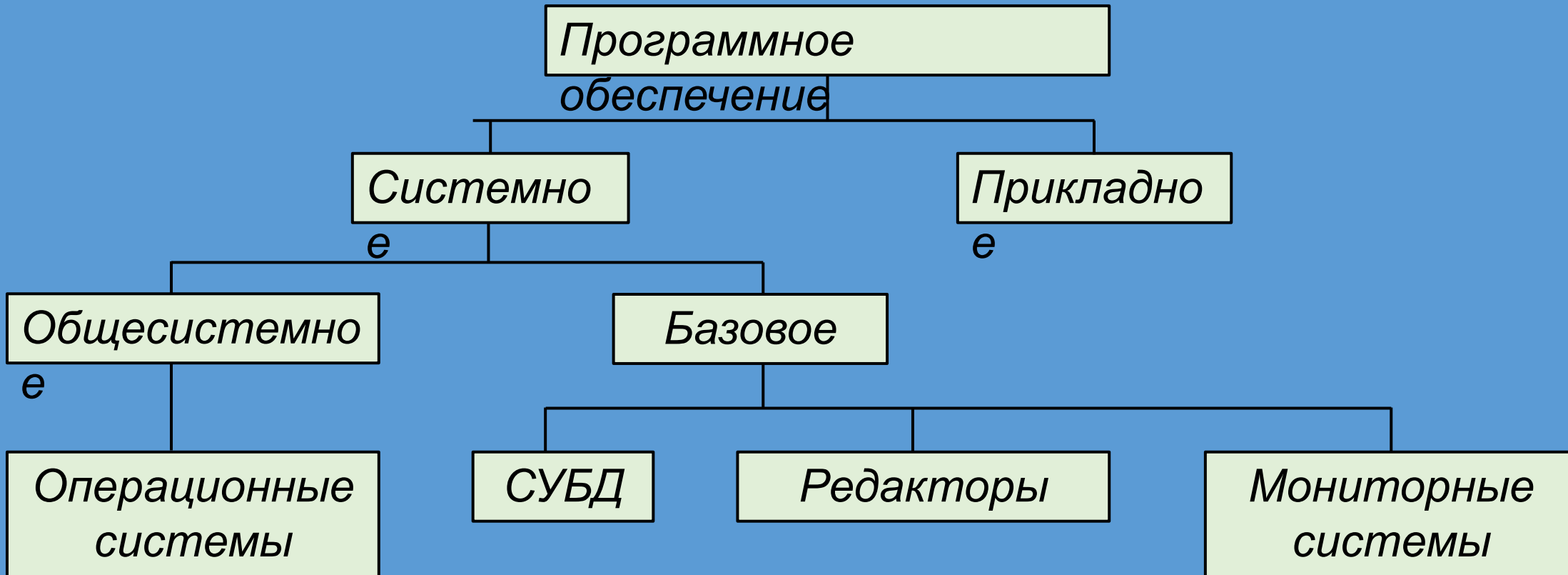
Эти языки ориентированы на обработку символьной информации, требуют больших массивов данных.

Лисп применяется для программирования интеллектуальных задач на естественном языке (управление голосом).

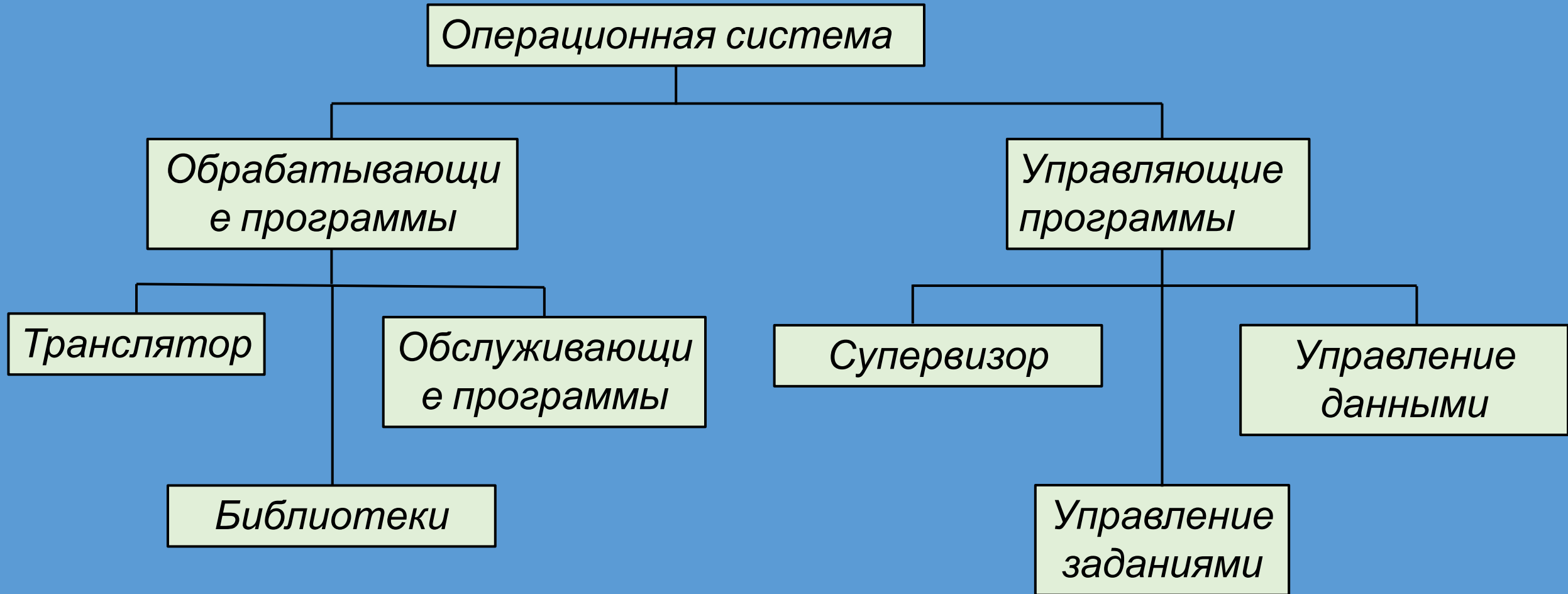
Пролог приобрел большую популярность в связи с созданием в Японии вычислительных систем 5-ого поколения.

ПРОГРАММНОЕ ОБЕСПЕЧЕНИЕ (ПО) САПР

ПО – это совокупность программ, процедур и правил, написанных на том или ином языке, предназначенных для использования в САПР



СТРУКТУРА ОПЕРАЦИОННОЙ СИСТЕМЫ



ПРИКЛАДНОЕ ПРОГРАММНОЕ ОБЕСПЕЧЕНИЕ

Прикладное ПО – это пакеты прикладных программ для выполнения различных проектных процедур (схемотехническое проектирование, конструирование и электродинамическое моделирование).

DesingLab, разработанная корпорацией MicroSim . Основу системы составляют следующие модули:

- графический редактор принципиальных схем – Schematics. Он же является управляющей оболочкой системы;
- моделирование аналоговых-цифровых устройств Pspice A/D;
- редактор входных сигналов (аналоговых и цифровых);
- библиотека диодов, биполярных и полевых и мощных МОП транзисторов, ОУ, компараторов напряжения, регуляторов и стабилизаторов напряжения.

ICAP, которая может работать с измерительными устройствами и получать конструкторскую документацию.

Super-Compact, в которой предусмотрено моделирование СВЧ-устройств.

Serenade, Super-Spice, Microware Explorer обеспечивают моделирование и оптимизацию СВЧ и оптоэлектронных устройств в, в том числе и во временной области, электромагнитных полей. Имеются версии ориентированные на Windows 95.

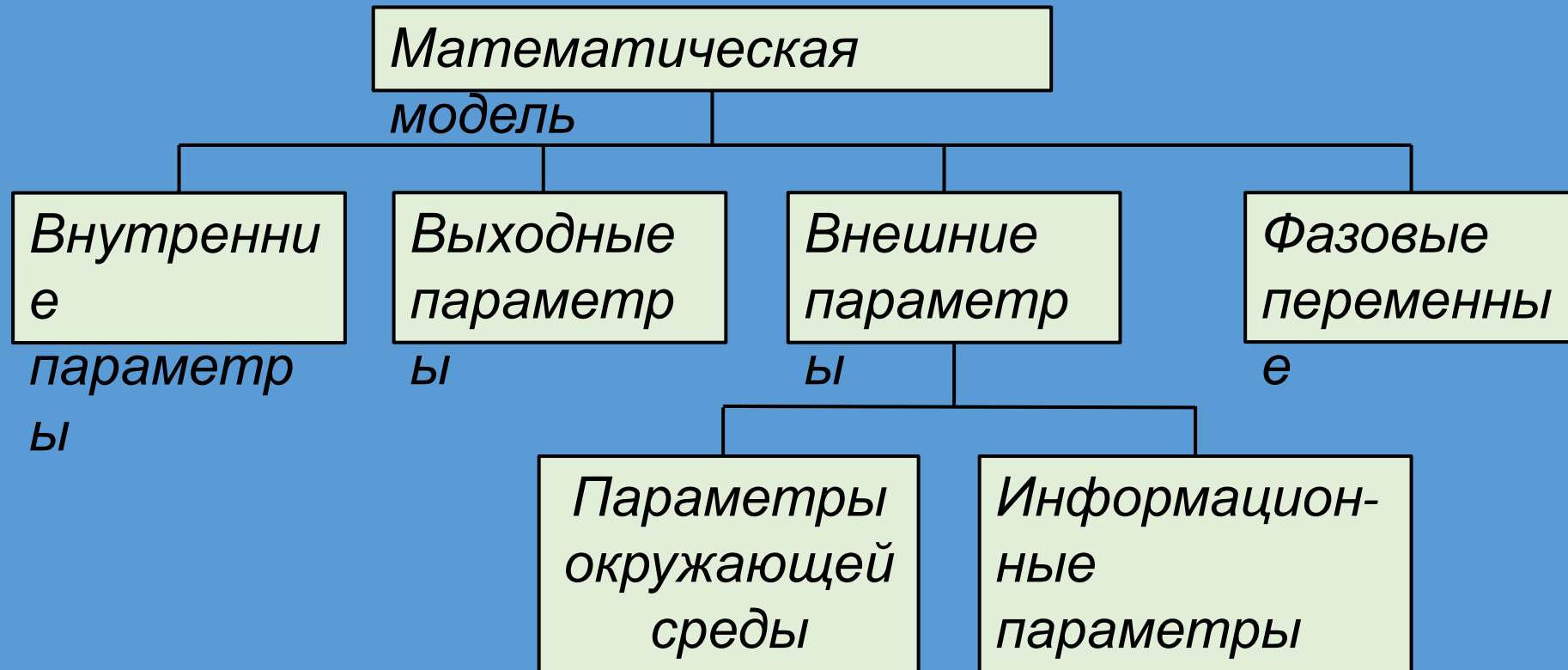
Система **Micro-Cap** предназначена для анализа и моделирования аналоговых и аналого-цифровых устройств (расчет переходных процессов, АЧХ, спектральный анализ и др.). Предусмотрена возможность наращивания библиотеки компонентов и подключение других программных продуктов (например, Pspice).

OrCAD позволяет решать задачи схемотехнического и конструкторского проектирования.

Основной конкурент OrCAD – это пакет P-CAD. Пакет имеет открытую архитектуру, он позволяет проектировать печатные платы до 500 элементов и 2000 связей.

МАТЕМАТИЧЕСКИЕ МОДЕЛИ

ММ технического объекта – это совокупность математических объектов (чисел, переменных, множеств, графиков, матриц и др.) и отношений между ними; которые адекватно отражают некоторые свойства объекта с требуемой степенью точности



\bar{W} - вектор внутренних параметров;

\bar{F} - вектор выходных параметров;

\bar{Q} - вектор внешних параметров;

\bar{V} - вектор фазовых переменных.

ММ любого радиотехнического объекта можно описать системой уравнений:

$$\varphi(\bar{V}, \bar{W}, \bar{Q}) = 0, \quad (1)$$

$$\bar{F} = f(\bar{V}). \quad (2)$$

Здесь φ и f – операторы, определяющие вид систем уравнений.

Решение уравнений (1) и (2) называют анализом математической модели

Классификация математических моделей

По уровню сложности: полные модели и макромоделли.

По способу формирования: физические и формальные.

По способу задания внешних и внутренних параметров : дискретные и непрерывные

По содержанию: электрические, физико-технологические; технологические.

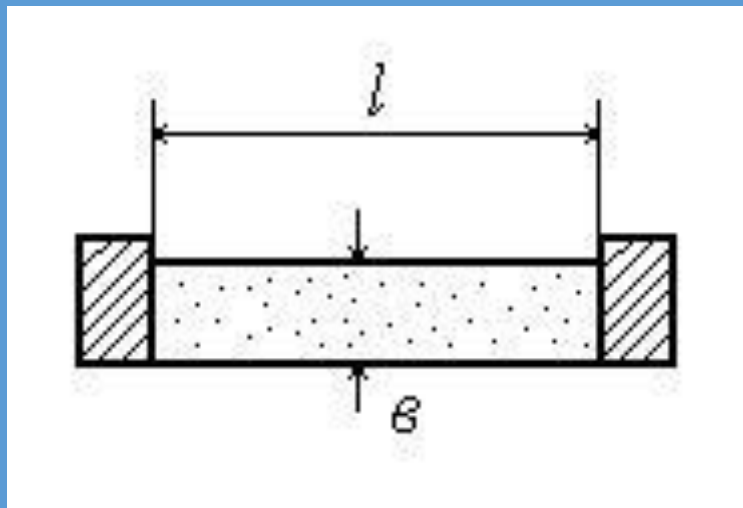
По тину параметров: сосредоточенные и распределенные

По способу получения: теоретические и эмпирические.

Базовые элементы	Компонентные уравнения		
	В операторной форме	Во временной форме	В частотной форме
1. Резистор:			
Линейный	$u = Ri(s)$	$u(t) = Ri(t)$	$u(\omega) = Ri(\omega)$
управляемый током	$u = r(i)i(s)$	$u(t) = R[i(t)]i(t)$	$u(\omega) = R[i(\omega)]i(\omega)$
управляемый напряжением	$i = G(u)u(s)$	$i(t) = G[u(t)]u(t)$	$i(\omega) = G[u(\omega)]u(\omega)$
2. Конденсатор:			
линейный	$i = Csu(s)$	$i(t) = cdu/dt$	$i(\omega) = j\omega C'u(\omega)$
управляемый током	$u = i(s)/[sC(i)]$	$u(t) = i(t)/c(i)dt$	$u(\omega) = i(\omega)/[j\omega C'(i)]$
управляемый напряжением	$i = sC(u)u(s)$	$i(t) = d[c(u)u(t)]/dt$	$i(\omega) = j\omega C'(u)u(\omega)$
3. Индуктивность:			
линейная	$u = Lsi(s)$	$u(t) = Ldi(t)/dt$	$u(\omega) = j\omega Li(\omega)$
управляемая током	$u = sL(i)i(s)$	$u(t) = d[L(i)i(t)]/dt$	$u(\omega) = j\omega L(i)i(\omega)$

Пленочный резистор

Вид



Электрическая модель



Сопротивление резистора:

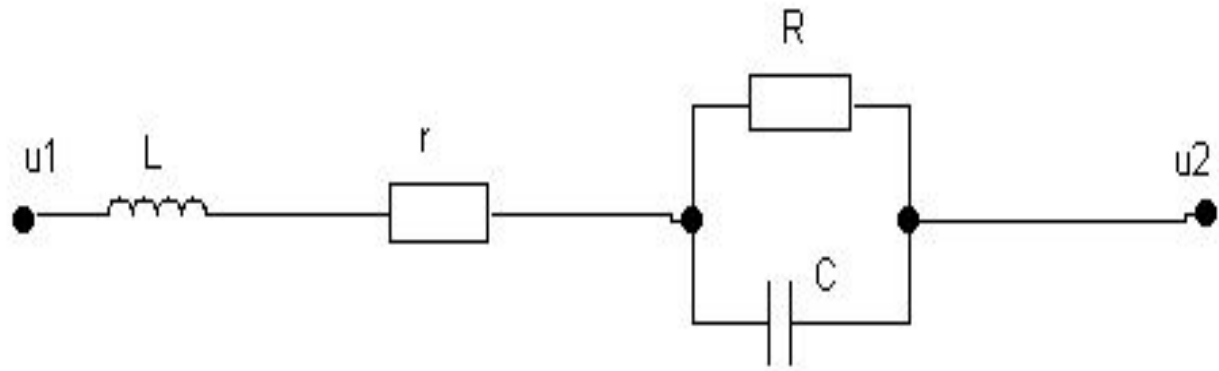
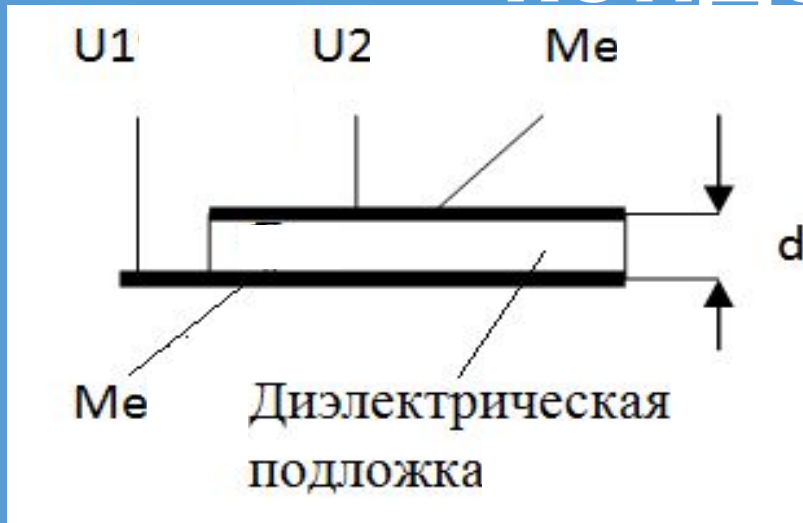
$$R = \frac{R_0 \cdot l}{b},$$

где R_0 - поверхностное сопротивление резистивного слоя,

l, b

$$C = \frac{\varepsilon \cdot b \cdot d}{l}, \quad C_k = \varepsilon \cdot \frac{b \cdot l}{d}, \quad \text{где } \varepsilon - \text{диэлектрическая проницаемость подложки, } d - \text{ее ширина}$$

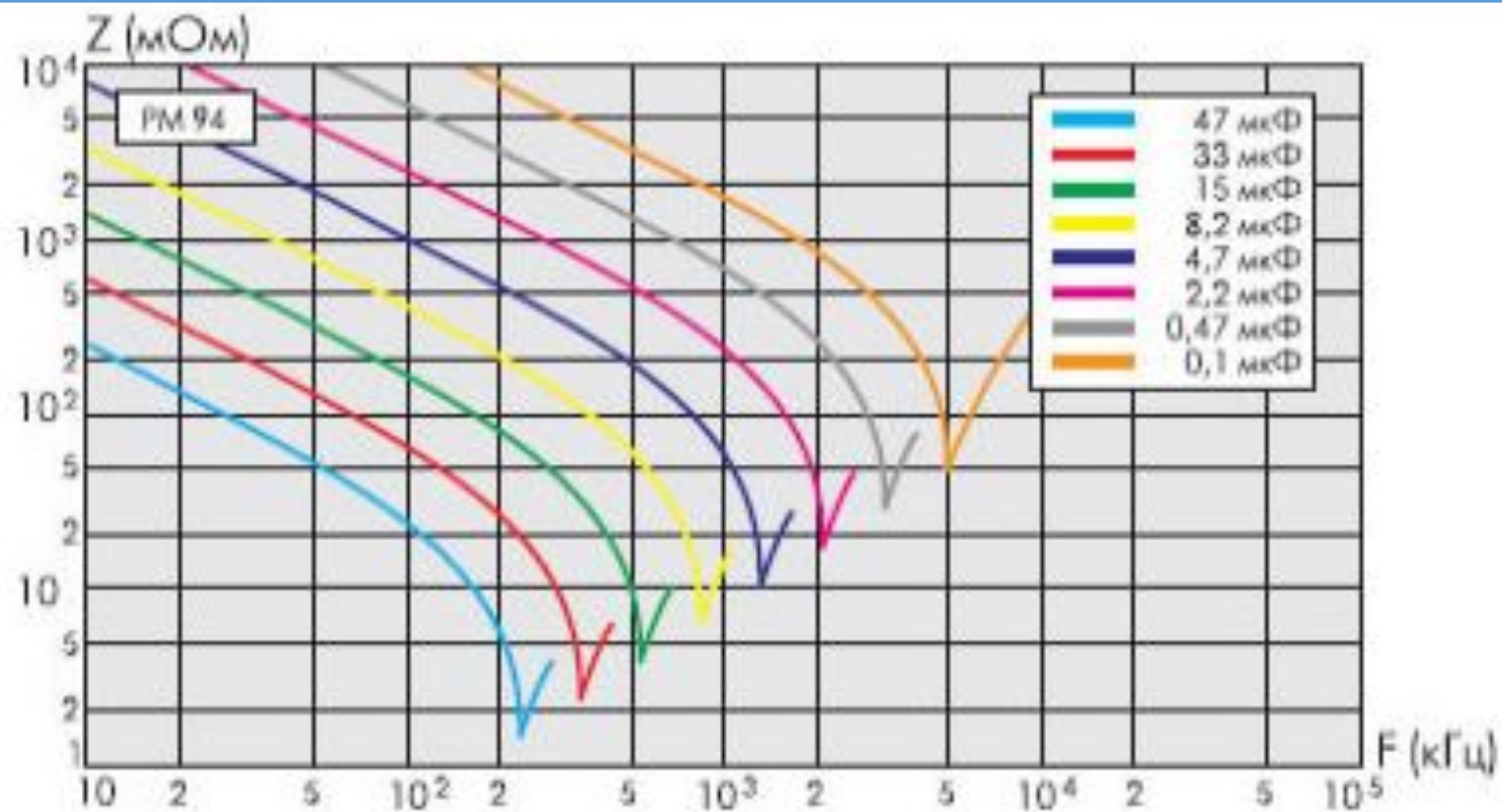
Пленочный конденсатор



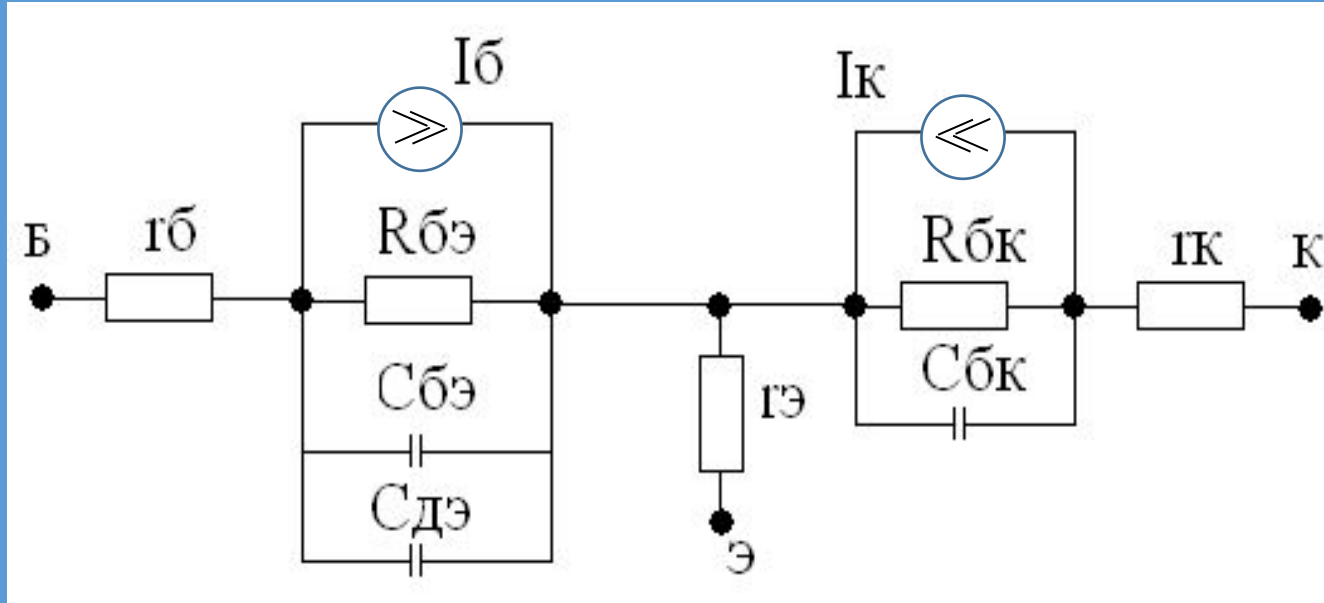
Емкость конденсатора вычисляют по формуле

$$C = \frac{\epsilon S}{d}, \text{ где } \epsilon - \text{ диэлектрическая проницаемость, } S - \text{ площадь обкладок, } d - \text{ толщина диэлектрика}$$

Величины R и L определяются экспериментально, $r = 2R_0lw$, где w , l – длина и ширина обкладок, R_0 – удельное поверхностное сопротивление пленок металлизации. Сопротивление R – это потери, связанные с поляризацией диэлектрика, возникают на высоких частотах.



Модель Эберса - Молла

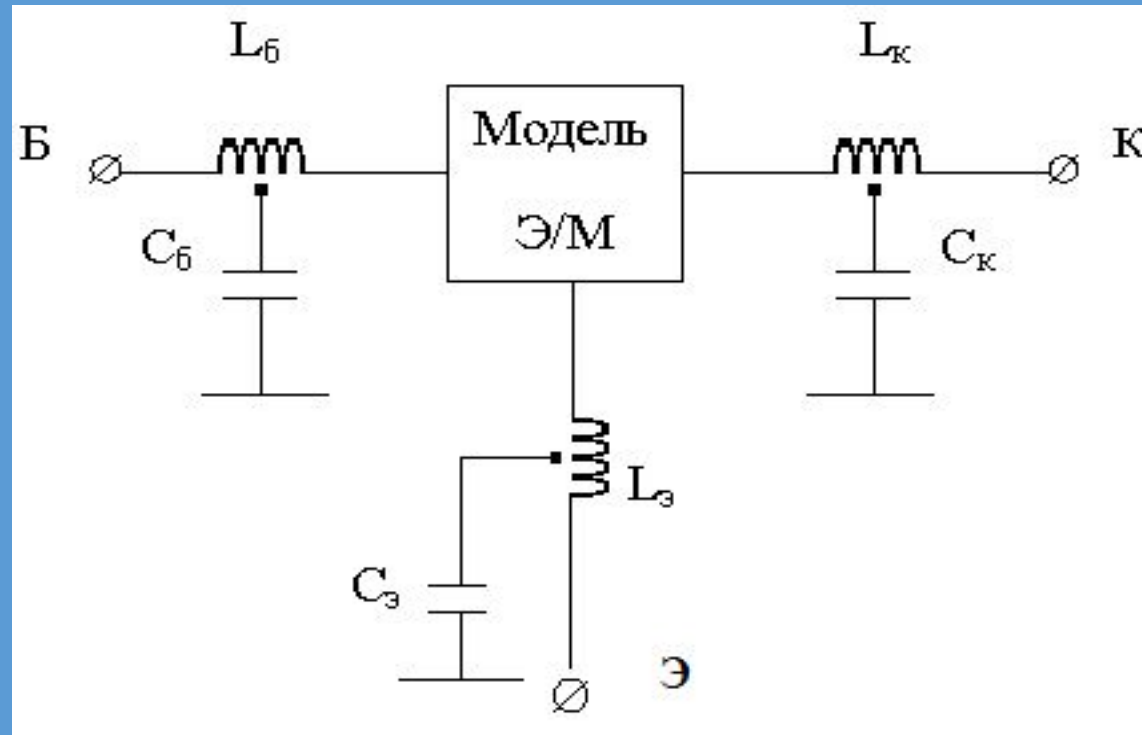


Здесь r_b , $r_э$, r_k – собственное сопротивление базы, эмиттера и коллектора транзистора и контактов к ним, I_b , I_k – управляемые напряжением $U_{бэ}$ источники тока, $R_{бэ}$, $R_{бк}$ – сопротивление утечки, а $C_{бэ}$, $C_{бк}$ – барьерные ёмкости эмиттерного и коллекторного переходов, $C_{дэ}$ – диффузная ёмкость эмиттерного перехода.

$I_b = I_{б0} [\exp(U_{бэ}/\varphi_T) - 1]$, $I_k = \beta I_b$, где $\varphi_T \approx 25$ мВ – температурный потенциал, β – коэффициент усиления по току в схеме ОЭ.

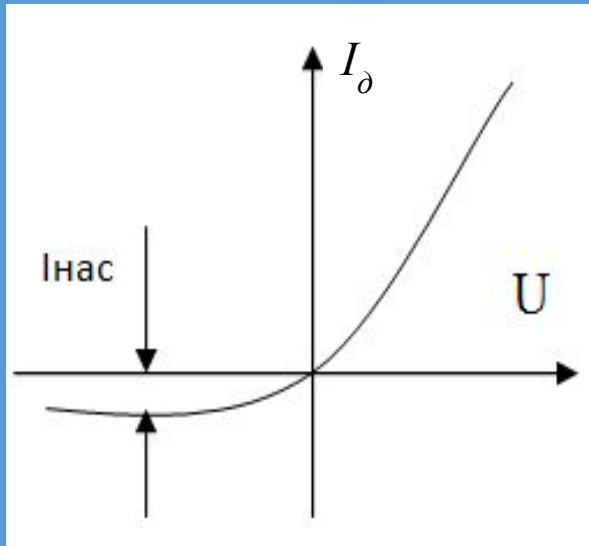
$C_{бэ} = \frac{C_{0б}}{(1 - U_{бэ}/U_0)^\gamma}$, $C_{бк} = \frac{C_{0к}}{(1 - U_{кб}/U_0)^\gamma}$, где $C_{0б}$, $C_{0к}$ – емкости переходов при нулевом напряжении на них, $\gamma = 0,3 \dots 0,5$ – коэффициент, зависящий от примесей, $U_0 = (0,3 \div 1,2)$ В – контактная разность потенциалов.

Полная электрическая модель дискретного биполярного транзистора

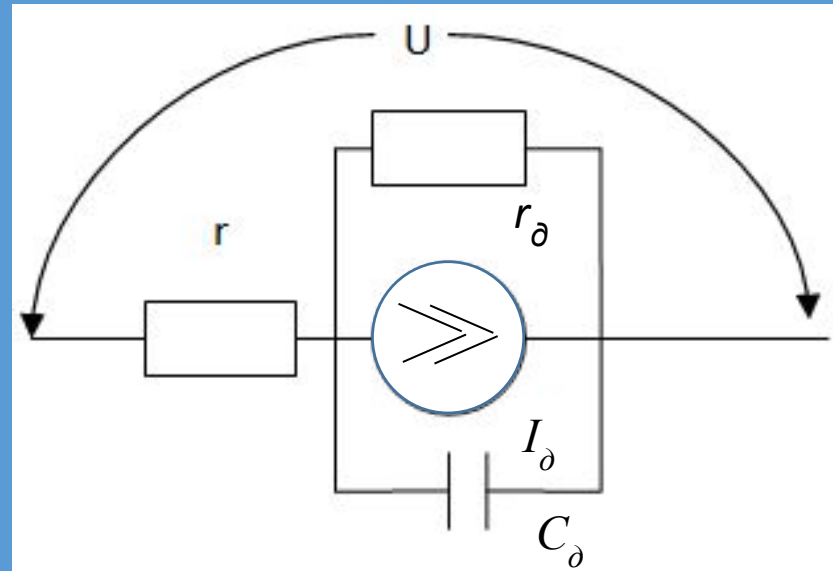


Электрические модели полупроводникового

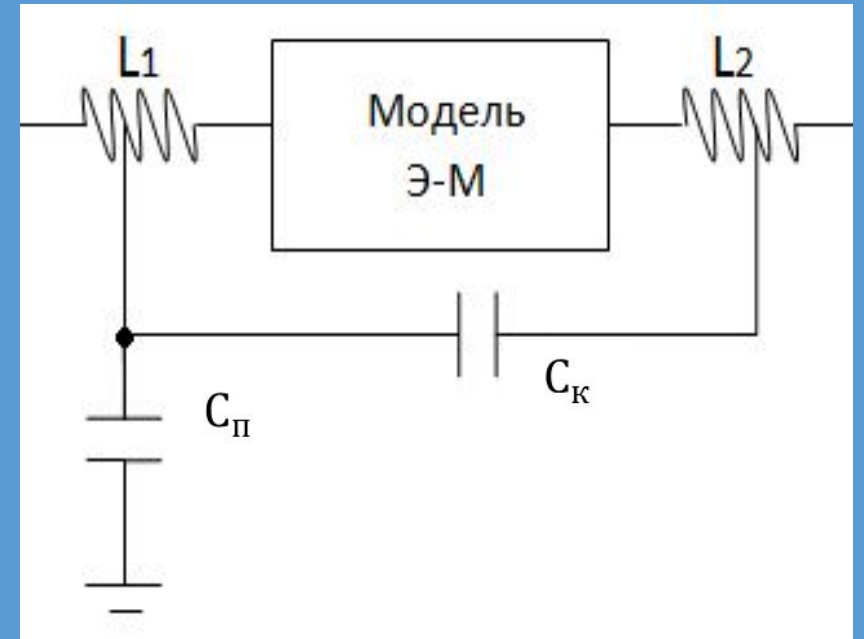
ВАХ диода



Модель Эберса - Молла

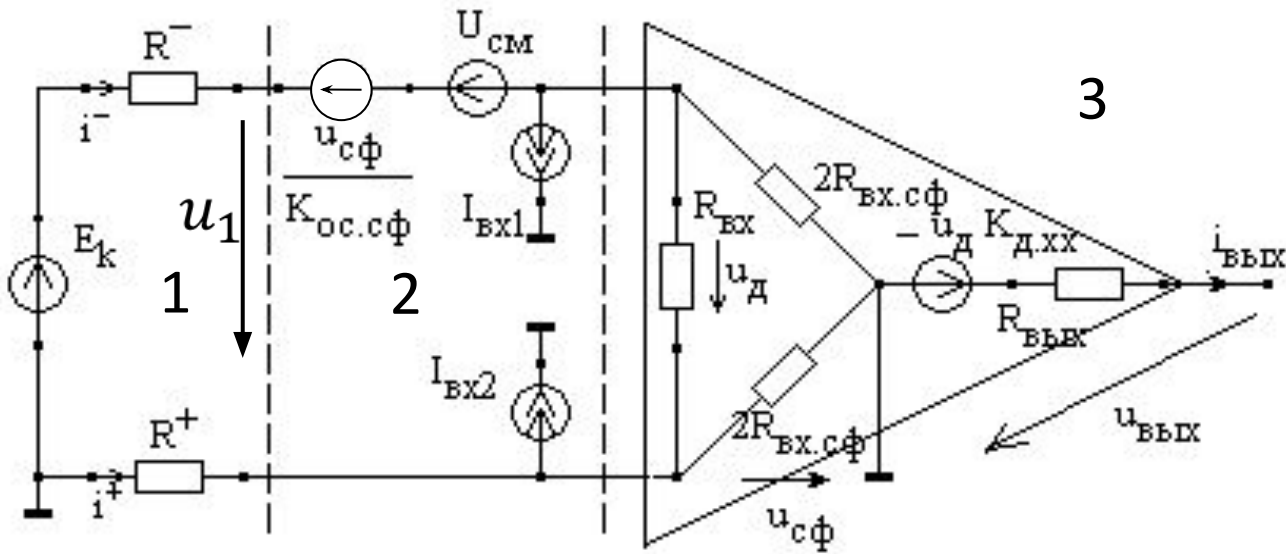


Модель дискретного диода



$I_{\delta} = I_{\text{нас}} [\exp(U/\varphi_T) - 1]$, $I_{\text{нас}}$ - ток насыщения перехода, обусловленный тепловой генерацией неосновных носителей; r_{δ} - сопротивление утечки; C_{δ} - сумма барьерной и диффузионной емкостей p-n перехода; r - объемное сопротивление тела базы, $C_{\text{к}}$, $C_{\text{п}}$ - емкость корпуса и контактов; L_1, L_2 - индуктивности выводов

Статическая макромодель операционного



1 – источник, компенсирующий генераторы статических ошибок;

2 - генераторы статических ошибок;

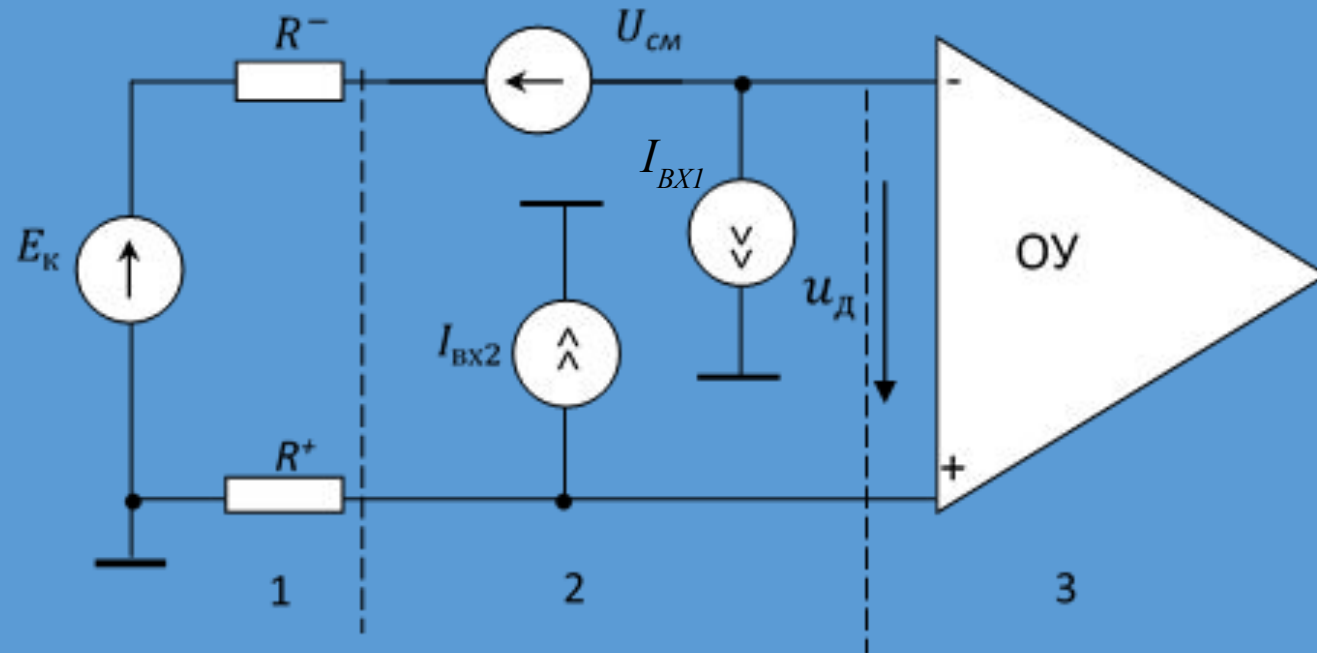
3 – идеальный ОУ (без статических ошибок);

R^-, R^+ - сопротивление внешних цепей постоянному току соответствующих входов.

$$u_1 = U_{см} + \frac{U_{сф}}{K_{ос.сф}} - (U_{вых} + i_{вых} R_{вых}) / K_{д.хх},$$

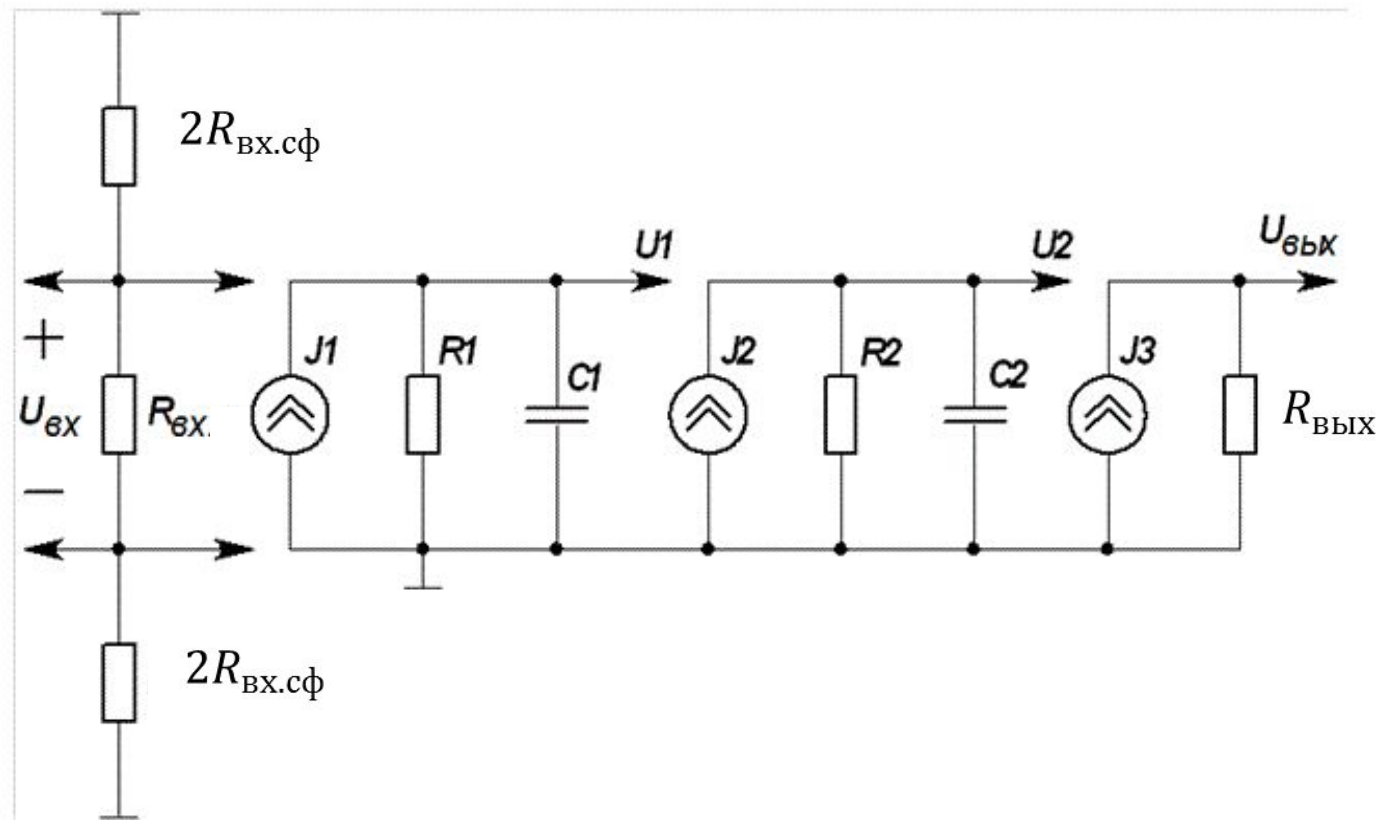
$$i^- = I_{вх1} + \frac{U_{сф}}{2R_{вх.сф}} - (U_{вых} + i_{вых} R_{вых}) \left(\frac{1}{R_{вх}} + \frac{1}{2R_{вх.сф}} \right) / K_{д.хх},$$

$$i^+ = I_{вх2} + \frac{U_{сф}}{2R_{вх.сф}} - \frac{(U_{вых} + i_{вых} R_{вых})}{K_{д.хх} R_{вх}}$$



$$|E_K| = |U_{CM}| + |I_{BX1}R^- - I_{BX2}R^+|$$

Динамическая линейная макромодел ОУ



$$J_1 = S_1 U_{вх}$$

$$J_2 = S_2 U_1$$

$$J_3 = S_3 U_2$$

$$S_2 = K_2 / R_2$$

$$S_1 = K_1 / R_1$$

$$S_3 = K_3 / R_{вых}$$

$$f_{p1} = \frac{1}{2\pi C_1 R_1}$$

$$f_{p2} = \frac{1}{2\pi C_2 R_2}$$

ОСНОВНЫЕ ЧИСЛЕННЫЕ МЕТОДЫ РАСЧЕТА ММ В СТАТИЧЕСКОМ РЕЖИМЕ

$$f_1(x_1, x_2, \dots, x_n) = 0$$

$$f_2(x_1, x_2, \dots, x_n) = 0$$

.....

$$f_n(x_1, x_2, \dots, x_n) = 0$$

Или в векторной форме $\bar{F}(\bar{X}) = 0$, где \bar{X} - вектор с n компонентами, \bar{F} - вещественная вектор-функция также с n компонентами.

Для решения системы $\bar{F}(\bar{X}) = 0$ можно использовать метод простых итераций:

$$\bar{X}^{k+1} - \bar{X}^k = \lambda \bar{F}(\bar{X}^k).$$

Где k - номер итерации, λ - множитель, регулирующий сходимость.

Процесс останавливается, когда разность между значениями переменных на соседних итерациях оказывается меньше требуемой точности

$$|\bar{X}^{k+1} - \bar{X}^k| < \xi.$$

Более быструю сходимость обеспечивает метод Ньютона. Итерационная формула Ньютона имеет вид:

$$\bar{X}^{k+1} = \bar{X}^k - \left[\frac{df_j(\bar{X}^k)}{dx_i} \right]^{-1} \times \bar{F}(\bar{X}^k).$$

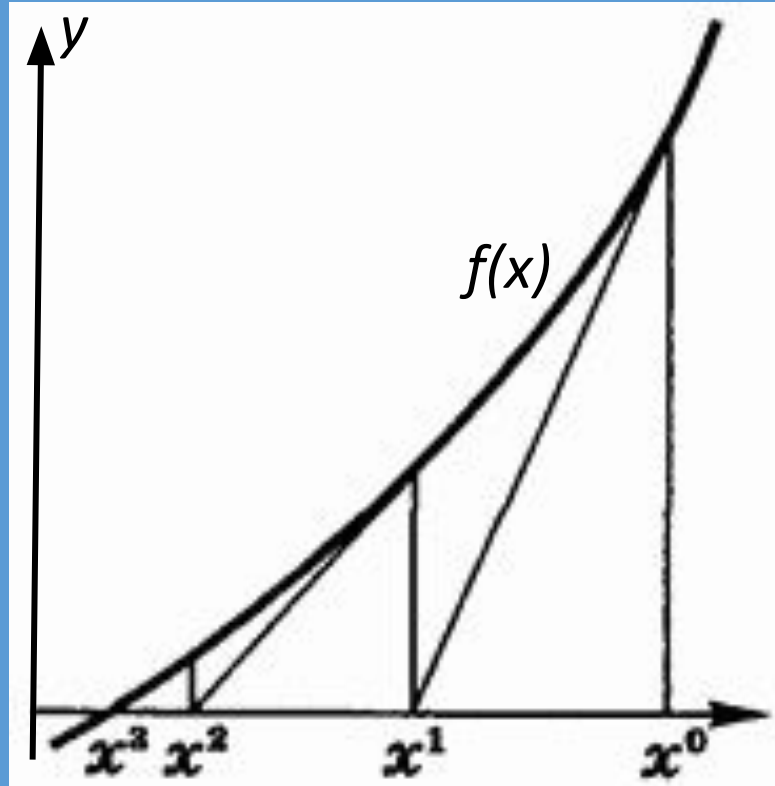
Здесь $\left[\frac{df_j(\bar{X}^k)}{dx_i} \right]$ - матрица первых производных (матрица Якоби).

Решением этой системы является вектор $|\bar{X}| = [x_1, x_2, \dots, \dots, x_n]$, который удовлетворяет эту систему с требуемой точностью.

Для случая одного уравнения с одним неизвестным формула Ньютона примет вид:

$$x^{k+1} = x^k - \frac{f(x^k)}{f'(x^k)}.$$

Геометрическая сущность метода Ньютона состоит в том, что на каждом шаге итерации кривая $f(x)$ заменяется прямой линией, касательной к $f(x)$ в точке x^k , где k – номер приближения (см. следующий слайд)



1. Выберем произвольную точку x_0 на оси x и заданную погрешность ξ .
2. Проведем касательную к функции $f(x)$ в точке $(x_0, f(x_0))$. Определим точку, в которой касательная пересекает линию $y=0$. Обозначим эту точку x_1 .
3. Вычислим значение функции $f(x)$ в точке x_1 . Если $|f(x_1)| > \xi$ или $|x_0 - x_1| > \xi$, тогда в качестве новой точки x_0 выберем точку x_1 , т.е. $(x_0 = x_1)$ и перейдем к пункту 2.
4. Итерационный процесс заканчивается, когда выполняется одно из условий $|\Delta x| \leq \xi$ или $|f(x_i)| \leq \xi$.

ЛИКБЕЗ

Если функция $f(x)$ имеет непрерывные производные вплоть до $(n+1)$ -го порядка, то ее можно разложить в степенной ряд по *формуле Тейлора*:

$$f(x) = \sum_{k=0}^{\infty} f^{(k)}(a) \frac{(x-a)^k}{k!} = f(a) + f'(a)(x-a) + \frac{f''(a)(x-a)^2}{2!} + \dots + \frac{f^{(n)}(a)(x-a)^n}{n!} + R_n,$$

где R_n – остаточный член .

Если приведенное разложение сходится в некотором интервале x , т.е. $\lim_{n \rightarrow \infty} R_n = 0$, то оно называется *рядом Тейлора*, представляющим разложение функции $f(x)$ в точке a .

Если $a = 0$, то такое разложение называется *рядом Маклорена*:

6.3. Моделирование статического режима при формировании ММ в базисе узловых потенциалов

В этом базисе исходная модель-уравнение, соответствующая уравнению $\bar{F}(\bar{X}) = 0$, имеет вид $\bar{I}(\bar{U}) = 0$, где $\bar{I}(\bar{U})$ - вектор узловых токов.

Модель схемы формируется в виде , соответствующем решению методом Ньютона.

Было

$$\bar{X}^{k+1} = \bar{X}^k - \left[\frac{df_j(\bar{X}^k)}{dx_i} \right]^{-1} \times \bar{F}(\bar{X}^k).$$

Будет

$$\Delta \bar{U}^k \left[\frac{df_j(\bar{I}^k)}{du_i} \right] = -\bar{I}(\bar{U}^k), \quad (1)$$

Где $\left[\frac{df_j(\bar{I}^k)}{du_i} \right]$ – матрица узловых проводимостей, $\Delta \bar{U}^k = \bar{U}^{k+1} - \bar{U}^k$ – вектор поправок.

Разложим функцию в ряд Тейлора, удерживая в нем члены, содержащие первые производные первого порядка, другими словами в виду малости $\Delta \bar{U}^k$ отбросим все члены ряда Тейлора, начиная с квадратичного. Тогда уравнение (1) сведется к системе линейных уравнений относительно искомым переменных $\Delta \bar{U}^k$.

Первое уравнение для первого узла

$$\sum_{j=1}^n I_1^{(k)} + \frac{\partial \left(\sum_{j=1}^n I_1^{(k)} \right)}{\partial u_1} \cdot \Delta u_1^k + \dots + \frac{\partial \left(\sum_{j=1}^n I_1^{(k)} \right)}{\partial u_n} \cdot \Delta u_n^k = 0,$$

\uparrow
 G_{11}

\uparrow
 G_{1n}

Здесь

G_{11} – собственная проводимость первого узла, остальные частные производные – это взаимные проводимости между первым и остальными узлами, т.е. G_{1n} – взаимная проводимость между первым и n-м узлом.

$$\sum_{j=1}^n I_1^{(k)}$$

- узловый ток первого узла, т.е. алгебраическая сумма токов ветвей, сходящихся к первому узлу.

Уравнение (1) в матричной форме при n-узлах

$$\begin{array}{c}
 \frac{\partial \left(\sum_{j=1}^n I_1^{(k)} \right)}{\partial u_1} \dots \frac{\partial \left(\sum_{j=1}^n I_1^{(k)} \right)}{\partial u_n} \\
 \frac{\partial \left(\sum_{j=2}^n I_2^{(k)} \right)}{\partial u_1} \dots \frac{\partial \left(\sum_{j=2}^n I_2^{(k)} \right)}{\partial u_n} \\
 \dots \\
 \frac{\partial \left(\sum_{j=n}^n I_n^{(k)} \right)}{\partial u_1} \dots \frac{\partial \left(\sum_{j=n}^n I_n^{(k)} \right)}{\partial u_n}
 \end{array}
 \cdot
 \begin{array}{c}
 \Delta u_1^k \\
 \Delta u_2^k \\
 \dots \\
 \Delta u_n^k
 \end{array}
 = -
 \begin{array}{c}
 \sum_{j=1}^n I_1^{(k)} \\
 \sum_{j=2}^n I_2^{(k)} \\
 \dots \\
 \sum_{j=n}^n I_n^{(k)}
 \end{array}
 \cdot$$

6.4. Моделирование переходных процессов

6.4.1. Линейные устройства

Временной отклик электрической модели определяется обратным преобразованием Лапласа

$$f(t) = \frac{1}{2\pi j} \int_{c-j\infty}^{c+j\infty} F(p) e^{pt} dp, \quad (1)$$

где $F(p)$ – операторное изображение выходного параметра, полученного из ММ

Аппроксимация Паде

Для $n < m$ (физически реализуемая система)

$$z = tp, \quad e^z = \frac{P_n(z)}{Q_m(z)}, \quad \frac{P_n(z)}{Q_m(z)} = \sum_{i=1}^m \frac{k_i}{z - z_i},$$

где z_i – полюсы аппроксимирующей функции Паде, а k_i – соответствующие им вычеты. Полюсы z_i и вычеты k_i для разных n и m рассчитаны с высокой точностью и приведены в литературе.

Формула приближенного обратного преобразования Лапласа

$$f(t) = \frac{1}{t} \sum_{i=1}^m k_i F\left(\frac{z_i}{t}\right).$$

6.4.2. Нелинейные устройства

Задача Коши

Найти функцию u , удовлетворяющую уравнению

$$\frac{du}{dt} = u' = f(u, t)$$

и принимающую при $t = t_0$ заданное значение $u(t_0) = u_0$

Метод Рунге – Кутта

$$u(t_k) = u_k = u(t_{k-1} + \Delta t) = u_{k-1} + \Delta t \frac{du(t_{k-1})}{dt} + \frac{\Delta t^2}{2!} \frac{d^2u(t_{k-1})}{dt^2} + \dots$$

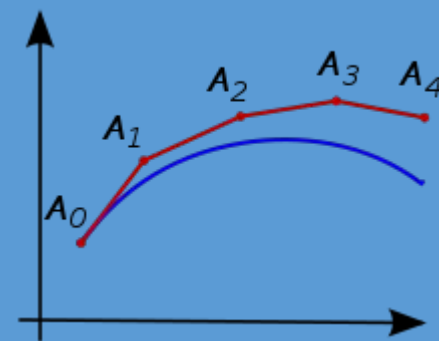
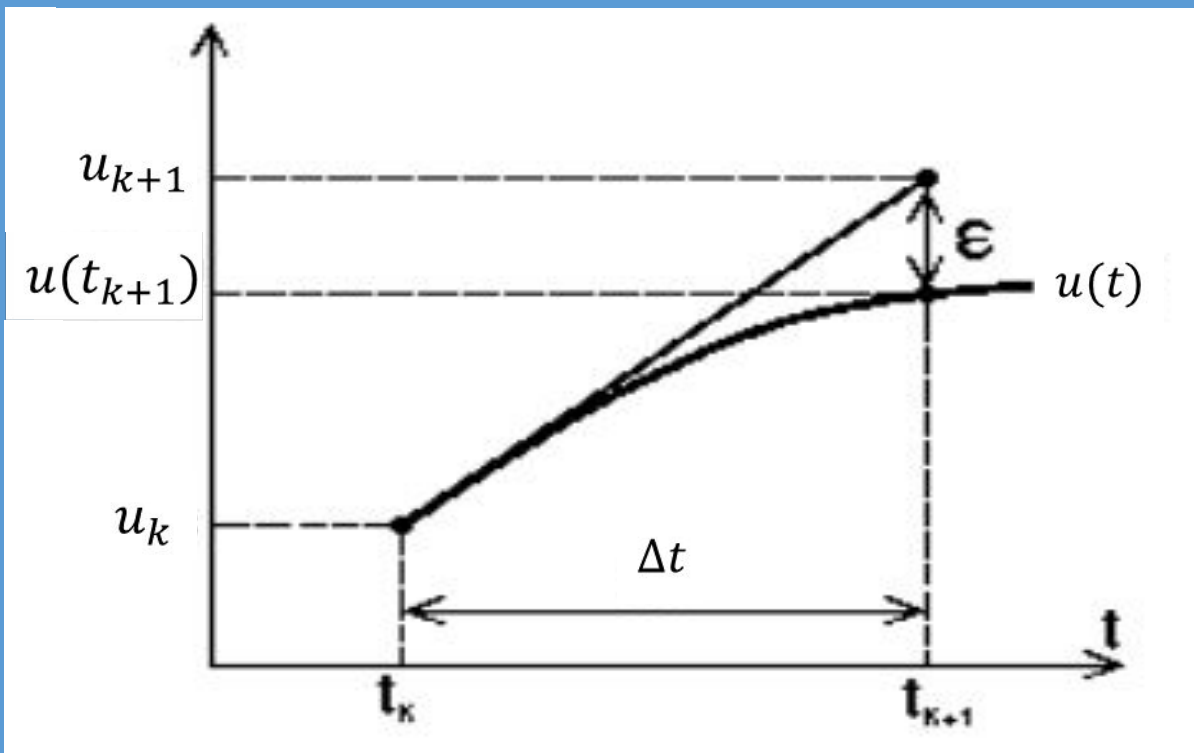
Если шаг интегрирования Δt мал, то всеми членами разложения высокого порядка можно пренебречь, тогда

$$u_k = u_{k-1} + \Delta t \frac{du(t_{k-1})}{dt} = \Delta t f(u_{k-1}, t_{k-1})$$

Итерационная формула

$$u_{k+1} = u_k + \Delta t \frac{du_k}{dt}, k = 1, 2, \dots, n$$

Геометрическая интерпретация метода Рунге – Кутты первого порядка (явного метода Эйлера)



Явный метод Эйлера налагают ограничения на выбор независимых переменных. Ими могут быть только напряжения на конденсаторах и токи через индуктивности, которые описываются компонентными уравнениями:

$$i_C = C \frac{du_C(t)}{dt},$$

$$u_L = L \frac{di_L(t)}{dt}$$

$$u_C = \frac{1}{C} \int i_C(t) dt,$$

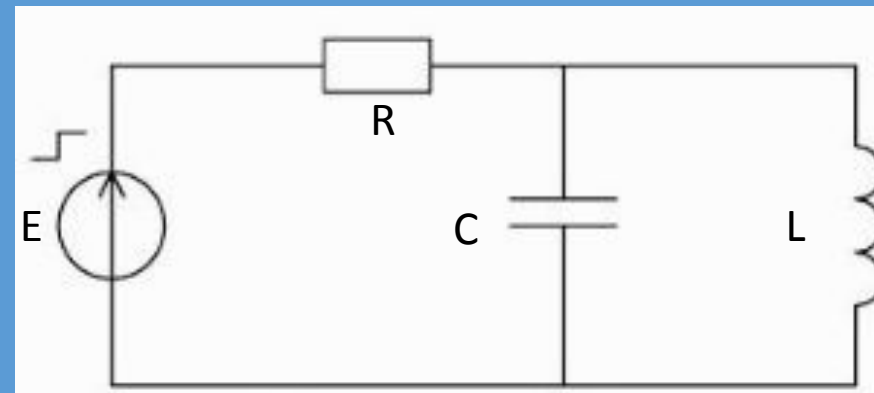
$$i_L = \frac{1}{L} \int u_L(t) dt.$$

$$i_C + i_L - i_R = 0,$$

$$-E + u_R + u_C = 0,$$

$$u_L - u_C = 0.$$

$$u_R = Ri_R, i_C = Cdu_C/dt, u_L = Ldi_L/dt,$$



$$\frac{du_C(t)}{dt} = \frac{1}{C} \left(\frac{-E - u_C(t)}{R} - i_L(t) \right).$$

$$\frac{di_L(t)}{dt} = \frac{u_C(t)}{L}$$

Явный метод Эйлера

$$u_{k+1} = u_k + \Delta t \frac{du_k}{dt}, k = 1, 2, \dots, n$$

Неявный метод Эйлера

$$u_{k+1} = u_k + \Delta t \frac{du_{k+1}}{dt}, k = 1, 2, \dots, n$$

Локальные ошибки

Явную формулу Эйлера можно рассматривать, как разложение $u(t)$ в ряд Тейлора, в котором оставлены только линейные члены. Поэтому локальная ошибка интегрирования равна остаточному члену:

$$\varepsilon = \frac{\Delta t^2}{2!} \frac{d^2 u(\tau)}{dt^2}, \text{ где } t < \tau < t + \Delta t$$

Метод трапеции

$$u_{k+1} = u_k + \frac{\Delta t}{2} \left(\frac{du_k}{dt} + \frac{du_{k+1}}{dt} \right)$$

Многошаговые методы

Методы численного интегрирования, которые используют для вычисления u_{k+1} информацию о нескольких ранее полученных значениях $u(t)$ называют *много шаговыми*.

Линейная многошаговая формула порядка m имеет вид:

$$u_{k+1} = \sum_{i=1}^m a_i u_{k+1-i} + \Delta t \sum_{i=0}^m b_i \frac{du_{k+1-i}}{dt} \quad (1)$$

Если $b_0 = 0$, метод является явным, при $b_0 \neq 0$ - неявным

Рассмотренные одношаговые методы численного интегрирования являются частным случаем формулы (1):

- при $m = 1, a_1 = 1, b_0 = 0, b_1 = 1$ получим явную формулу Эйлера;
- При $m = 1, a_1 = 1, b_0 = 1, b_1 = 0$ имеем неявную формулу Эйлера.

При $b_1 = b_2 = \dots = b_m = 0$ получим многошаговую формулу дифференцирования назад (ФДН):

$$u_{k+1} = \sum_{i=1}^m a_i u_{k+1-i} + \Delta t b_0 \frac{du_{k+1}}{dt}.$$

Методом узловых напряжений рассчитать схему, приведенную на рисунке 1

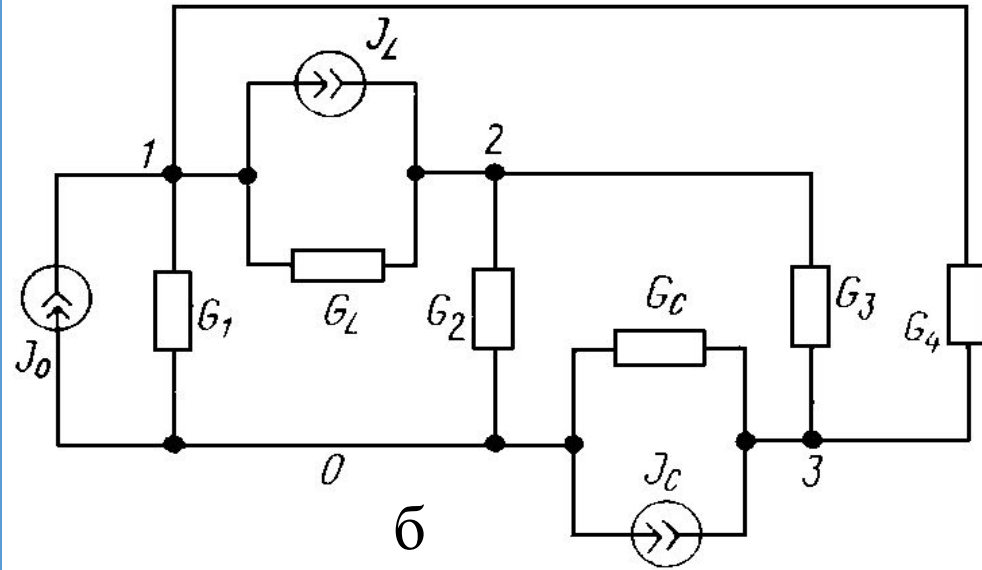
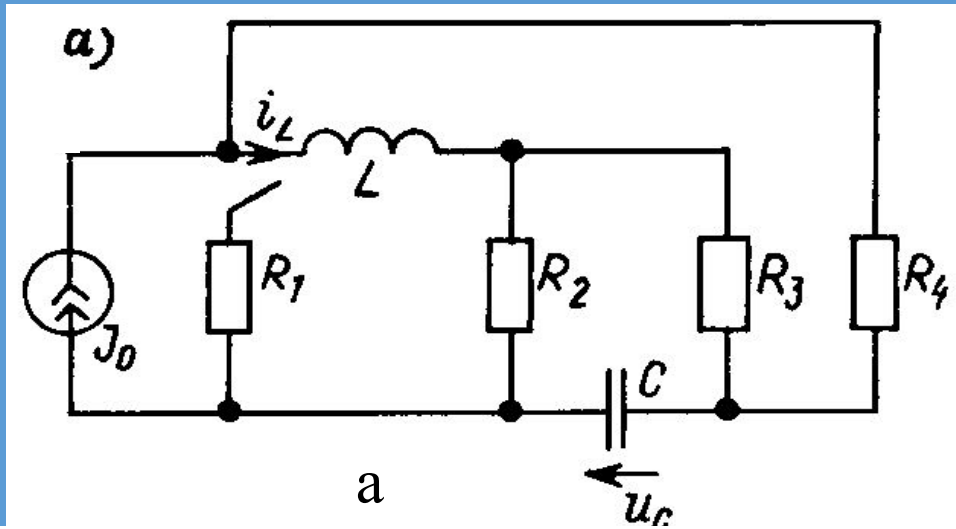


Рисунок 1, а – принципиальная схема, б – эквивалентная дискретная резистивная схема

$$G_L = \frac{\Delta t}{L}, J_L = i_{Lk}, G_C = \frac{C}{\Delta t}, J_C = \frac{C}{\Delta t} u_{Ck} \quad \begin{bmatrix} G_1 + G_L + G_4 & -G_L & -G_4 \\ -G_L & G_L + G_2 + G_3 & -G_3 \\ -G_4 & -G_3 & G_C + G_4 + G_3 \end{bmatrix} \times \begin{bmatrix} u_1 \\ u_2 \\ u_3 \end{bmatrix} = \begin{bmatrix} J_0 - J_L \\ J_L \\ J_C \end{bmatrix}$$

Расчет заключается в решении системы узловых уравнений на каждом шаге процесса, по результатам которого находят значения

$i_{L_{k+1}} = i_{L_k} + G_L u_{12} = i_{L_k} + \frac{h}{L} (u_1 - u_2)$ и $u_{C_{k+1}} = u_3$, которые используются в качестве исходных данных при расчете на следующем шаге. В начале расчета ($k = 0$), $i_L(0)$ и $u_C(0)$.

6.5. МОДЕЛИРОВАНИЕ ЧАСТОТНЫХ

Частотная характеристика схемы – это отношение спектра (преобразование Фурье) выходного сигнала к спектру входного сигнала

$$K(j\omega) = \frac{X_{\text{ВЫХ}}(j\omega)}{X_{\text{ВХ}}(j\omega)} = K(\omega)e^{j\varphi(\omega)},$$

где $K(j\omega)$ – комплексный коэффициент передачи (передаточная функция);
 $K(\omega)$ – модуль передаточной функции (АЧХ), $\varphi(\omega)$ – аргумент ПФ (ФЧХ).

Передаточная функция $K(j\omega)$ и импульсная характеристика $g(t)$ связаны парой преобразования Фурье

$$K(j\omega) = \int_{-\infty}^{\infty} g(t)e^{-j\omega t} dt, \quad g(t) = \frac{1}{2\pi} \int_{-\infty}^{\infty} K(j\omega)e^{j\omega t} d\omega. \quad (1)$$

Если используются аналоговые сигналы, то соотношения (1) непрерывные, а если импульсные – дискретные. Широко используется дискретное быстрое преобразование Фурье.

Импульсная $g(t)$ и переходная характеристики связаны другими соотношениями

$$g(t) = \frac{d}{dt}h(t), \quad h(t) = \int_0^t g(\tau) d\tau$$

При подаче на вход произвольного сигнала $X_{\text{ВХ}}(t)$ выходной сигнал $X_{\text{ВЫХ}}(t)$ во временной области можно найти с помощью интеграла свертки (Дюамеля)

$$X_{\text{ВЫХ}}(t) = \int_0^t X_{\text{ВХ}}(t - \tau)g(\tau) d\tau.$$

Этому соотношению в частотной области соответствует выражение

$$X_{\text{ВЫХ}}(j\omega) = K(j\omega)X_{\text{ВХ}}(j\omega).$$

Если $E_{\text{ВХ}}(j\omega) = 1 \times e^{j0}$, то

$$K(j\omega) = \frac{U_{\text{ВЫХ}}(j\omega)}{E_{\text{ВХ}}(j\omega)} = U_{\text{ВЫХ}}(j\omega).$$

Компонентные уравнения реактивных ветвей:

$$i_C = j\omega C(u_{\text{нач}} - u_{\text{кон}}), i_L = -\frac{j}{\omega L}(u_{\text{нач}} - u_{\text{кон}}), \quad (2)$$

где $u_{\text{нач}}, u_{\text{кон}}$ — напряжения на концах реактивных цепей.

Соответственно, проводимости ветвей равны:

$$G_C = j\omega C, \quad G_L = -\frac{j}{\omega L}. \quad (3)$$

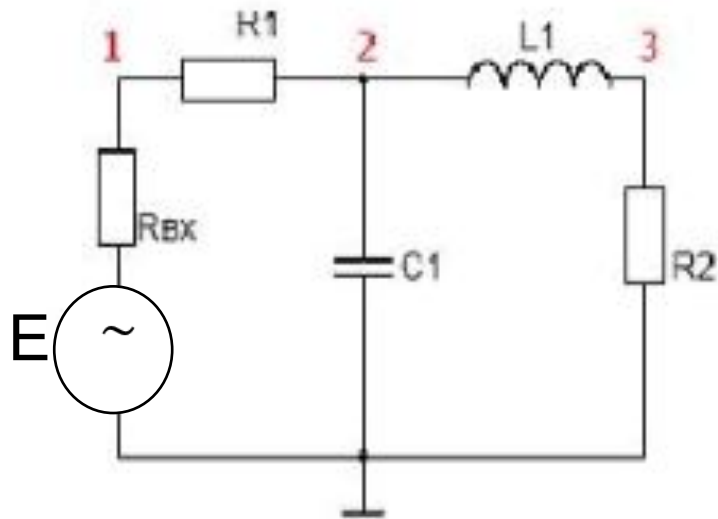
Уравнение (2) используется для формирования вектора узловых токов, а уравнение (3) — матрицы узловых проводимостей.

В результате получим систему уравнений линейной схемы в частотной области

$$\bar{G}(j\omega)\bar{U}(j\omega) = -\bar{I}(j\omega). \quad (4)$$

Для решения системы уравнений (4) используются программы, оперирующие с комплексными коэффициентами. Для каждой частоты определяются действительные и мнимые части узловых потенциалов (напряжений), по ним находят амплитуду и фазу этих напряжений

Пример



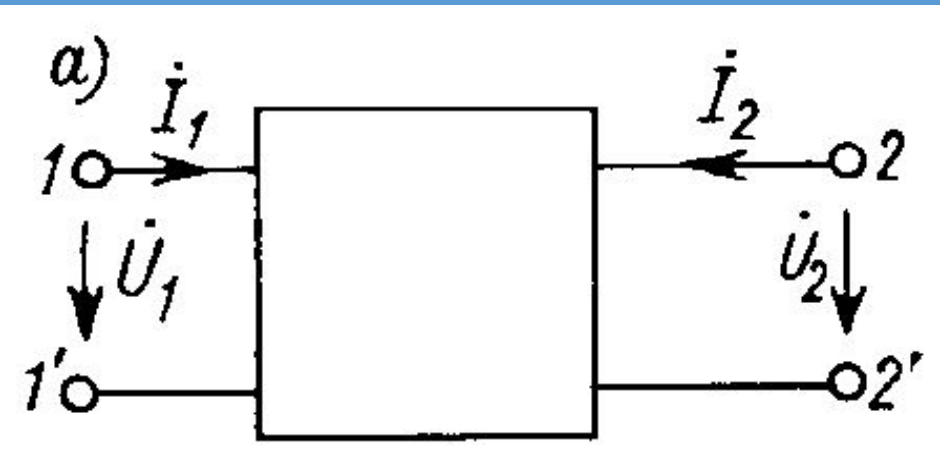
Решаем систему из трех линейных уравнений, находим напряжения в узлах. Если взять отношение

$$\frac{U_3(j\omega)}{E_{\text{вх}}(j\omega)} = K(j\omega) = U_3(j\omega) -$$

это будет комплексный коэффициент передачи, далее найдем модуль $U_3(j\omega)$ (АЧХ) и аргумент – ФЧХ.

$$\begin{vmatrix} \left(\frac{1}{R_{\text{вх}}} + \frac{1}{R_1}\right) & -\frac{1}{R_1} & 0 \\ -\frac{1}{R_1} & \left(\frac{1}{R_1} + j\omega C_1 + \frac{1}{j\omega L_1}\right) & -\frac{1}{j\omega L_1} \\ 0 & -\frac{1}{j\omega L_1} & \left(\frac{1}{R_2} + \frac{1}{j\omega L_1}\right) \end{vmatrix} \begin{vmatrix} V_1 \\ V_2 \\ V_3 \end{vmatrix} = \begin{vmatrix} E \\ 0 \\ 0 \end{vmatrix}$$

ПРИМЕНЕНИЕ МАТРИЦ КЛАССИЧЕСКОЙ И ВОЛНОВОЙ ТЕОРИИ



Форма Y

$$\begin{cases} \underline{I}_1 = Y_{11}\underline{U}_1 + Y_{12}\underline{U}_2 \\ \underline{I}_2 = Y_{21}\underline{U}_1 + Y_{22}\underline{U}_2 \end{cases}$$

Форма Z

$$\begin{cases} \underline{U}_1 = Z_{11}\underline{I}_1 + Z_{12}\underline{I}_2 \\ \underline{U}_2 = Z_{21}\underline{I}_1 + Z_{22}\underline{I}_2 \end{cases}$$

Форма H

$$\begin{cases} \underline{U}_1 = H_{11}\underline{I}_1 + H_{12}\underline{U}_2 \\ \underline{I}_2 = H_{21}\underline{I}_1 + H_{22}\underline{U}_2 \end{cases}$$

Форма G

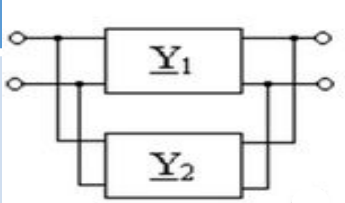
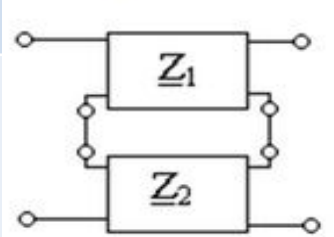
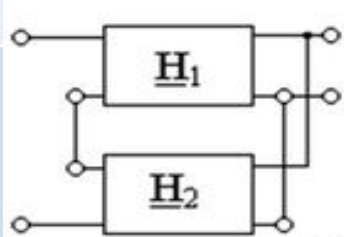
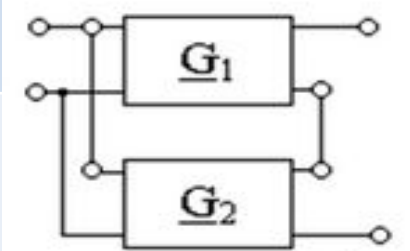
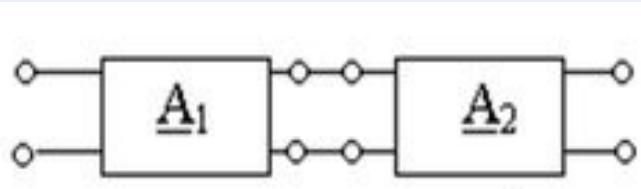
$$\begin{cases} \underline{I}_1 = G_{11}\underline{U}_1 + G_{12}\underline{I}_2 \\ \underline{U}_2 = G_{21}\underline{U}_1 + G_{22}\underline{I}_2 \end{cases}$$

В матричной форме

$$\begin{bmatrix} \underline{I}_1 \\ \underline{I}_2 \end{bmatrix} = \begin{bmatrix} Y_{11} & Y_{12} \\ Y_{21} & Y_{22} \end{bmatrix} \times \begin{bmatrix} \underline{U}_1 \\ \underline{U}_2 \end{bmatrix}$$

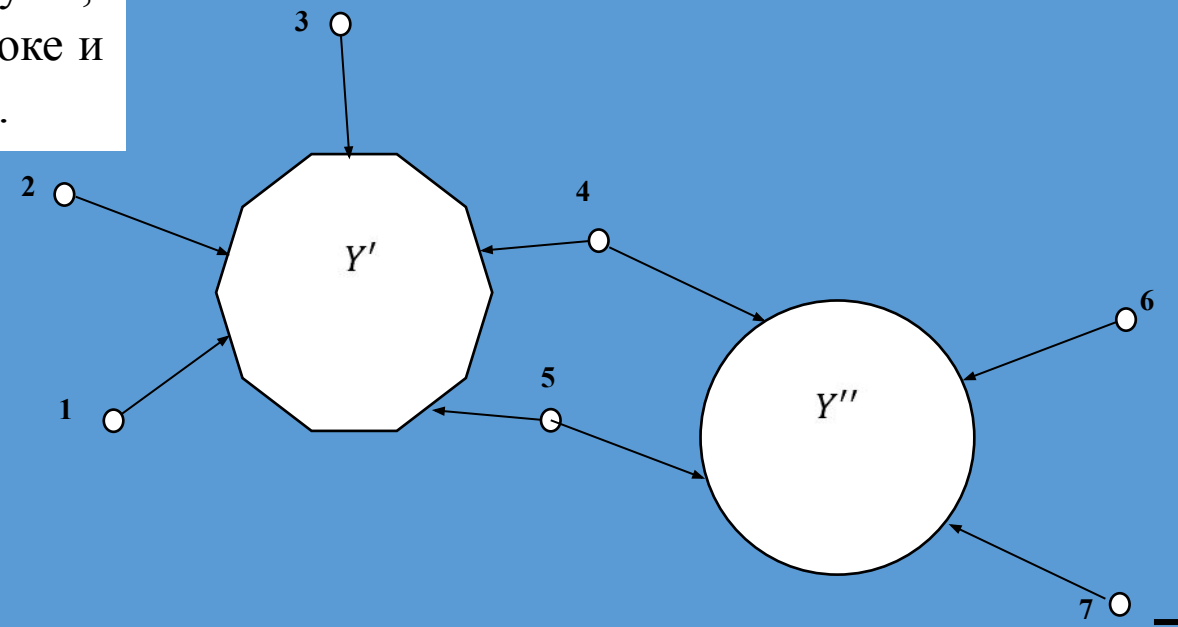
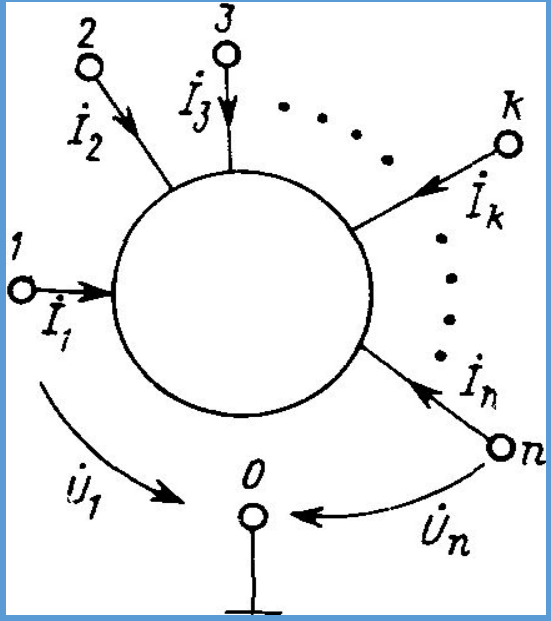
Форма A

$$\begin{cases} \underline{U}_1 = A_{11}\underline{U}_2 - A_{12}\underline{I}_2 \\ \underline{I}_1 = A_{21}\underline{U}_2 - A_{22}\underline{I}_2 \end{cases}$$

Название соединения	Схема соединения	Результирующая матрица
Параллельное		
Последовательное		
Последовательное-параллельное		
Параллельно-последовательное		
Каскадное		

СВОЙСТВА НЕОПРЕДЕЛЕННОЙ МАТРИЦЫ:

- определитель матрицы равен нулю;
- сумма элементов по любой строке и по любому столбцу равна нулю.



$$[Y] = [Y'] + [Y''] =$$

					0	0
					0	0
					0	0
0	0	0				
0	0	0				

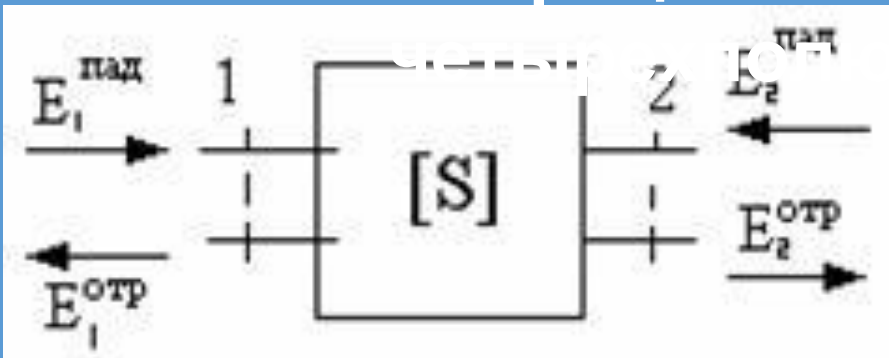
ЛИКБЕЗ

Электрические цепи, в которых индуктивность L , емкость C , активное сопротивление R сосредоточены в катушке, конденсаторе и резисторе называются цепями с сосредоточенными параметрами.

Однако имеются электрические цепи, в которых индуктивность, емкость и активное сопротивление распределены по длине цепи, например, в линиях передачи электромагнитных колебаний (в двухпроводных линиях, в фидерах, в волноводах). Такие цепи называются цепями с распределенными параметрами или длинными линиями.

Одна и та же цепь может вести себя как система с сосредоточенными или распределенными параметрами в зависимости от частоты (длины волны) сигнала, который действует в данной цепи.

Матрицы волновой теории



Матрица рассеивания $[S]$

Режимы измерения S-параметров

1. Согласованная нагрузка включена в сечение 2 ($E_2^{\text{пад}} = 0$)

— коэффициент отражения на входе 1

— коэффициент передачи на вход 2 со входа 1

2. Согласованная нагрузка включена в сечение 1 ($E_1^{\text{пад}} = 0$)

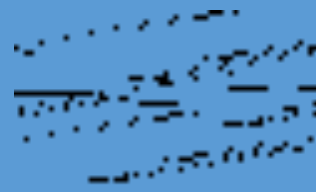
$S_{12} = \frac{E_1^{\text{отр}}}{E_2^{\text{пад}}}$ — коэффициент передачи на вход 1 со входа 2

$S_{22} = \frac{E_2^{\text{отр}}}{E_2^{\text{пад}}}$ — коэффициент отражения на входе 2

Матрица передачи [t]

$$\begin{cases} E_1^{\text{пад}} = t_{11}E_2^{\text{отр}} + t_{12}E_2^{\text{пад}} \\ E_1^{\text{отр}} = t_{21}E_2^{\text{отр}} + t_{22}E_2^{\text{пад}} \end{cases}$$

t- параметры не имеют такого простого физического смысла, как S-параметры, а представляют собой некоторые функции последних :



Следует отметить, что параметр t_{11} для четырехполюсника называют величиной затухания и, как правило, измеряют в децибелах

7. Учет влияния разброса внутренних параметров РЭС на его выходные характеристики

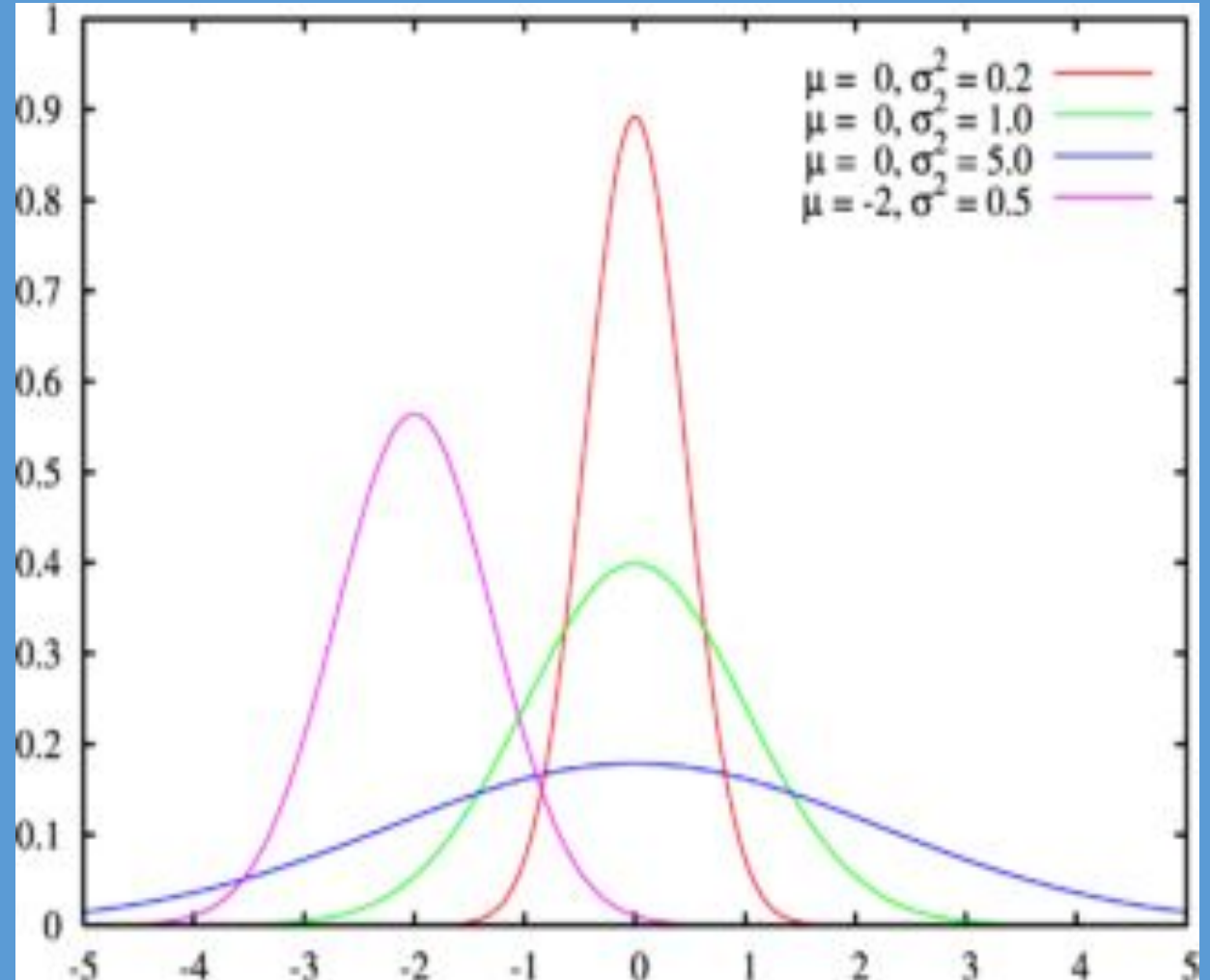
7.1. Постановка задачи

НОРМАЛЬНЫЙ ЗАКОН
РАСПРЕДЕЛЕНИЯ

$$f(x) = \frac{1}{\sigma\sqrt{2\pi}} e^{-\frac{(x-\mu)^2}{2\sigma^2}}$$

Здесь μ – математическое ожидание (наиболее вероятное значение),
 σ – среднеквадратическое отклонение величины x (оно характеризует форму кривой распределения),

$D(x) = \sigma^2$ – дисперсия.



При учете влияния разброса внутренних параметров РЭС может возникнуть необходимость решения следующих задач.

- **Допусковый анализ.** Задана схема РЭС, известны номинальные значения его внутренних параметров и допуски на них. Требуется найти возникающие при этом допуски на выходные параметры РЭС.
- **Допусковый синтез.** Известна структура схемы РЭУ, заданы допуски на выходные параметры, необходимо найти допуски на параметры компонентов схемы (на внутренние параметры).
- **Статистический параметрический синтез.** Разработана схема, известны допуски на параметры компонентов и допуски на выходные параметры. Необходимо, найти номинальные значения компонентов.
- **Статистический структурный синтез.** Заказчик задает лишь уровни разброса выходных параметров. Необходимо найти (создать) структуру схемы и определить номинальные значения параметров компонент

Для решения приведенных задач вводится понятие функции качества, зависящей от параметров компонент РЭС $F(\bar{V})$, где \bar{V} – вектор параметров компонент схемы (транзисторов, резисторов, конденсаторов, микросхем и т.п.).

Пусть известен также вектор номинальных значений \bar{V}_0 , которому соответствует номинальная функция качества $F(\bar{V}_0)$.

Вследствие разброса параметров компонент конкретная реализация вектора \bar{V} отличается от номинальной на вектор отклонений $\Delta\bar{V}$, а функция качества будет иметь вид $F(\bar{V}_0 + \Delta\bar{V})$.

Разложим данную функцию качества в многопараметрический ряд Тейлора вокруг номинала \bar{V}_0 в виде

$$F(\bar{V}_0 + \Delta\bar{V}) = F(\bar{V}_0) + \frac{1}{1!} \sum_{i=1}^n \frac{\partial F(\bar{V}_0)}{\partial v_i} \Delta v_i + \frac{1}{2!} \sum_{i=1}^n \sum_{j=1}^n \frac{\partial^2 F(\bar{V}_0)}{\partial v_i \partial v_j} \Delta v_i \Delta v_j + \dots \quad , (1)$$

где Δv_i , $i = 1, 2, \dots, n$ – компоненты вектора отклонений $\Delta\bar{V}$.

Рассмотрим два случая

1. Случай малых отклонений. Отклонения $\Delta\bar{V}$ малы настолько, что в выражении (1) можно пренебречь всеми членами ряда кроме первых двух. Основным способом учета разброса параметров в этом случае будет являться метод коэффициентов чувствительности (влияния).

2. Случай больших отклонений, т.е. отклонения $\Delta\bar{V}$ настолько велики, что пренебрежение высшими членами ряда невозможно. В этом случае применяют статистические методы обработки (моделирования).

7.2. Метод коэффициентов чувствительности

Из (1) при малых отклонений $\Delta\bar{V}$ следует, что

$$F(\bar{V}_0 + \Delta\bar{V}) = F(\bar{V}_0) + \sum_{i=1}^n \frac{\partial F(\bar{V}_0)}{\partial v_i} \Delta v_i,$$

ИЛИ

$$\Delta F(\Delta\bar{V}) = F(\bar{V}_0 + \Delta\bar{V}) - F(\bar{V}_0) = \sum_{i=1}^n \frac{\partial F(\bar{V}_0)}{\partial v_i} \Delta v_i. \quad (2)$$

Частные производные функции качества по параметрам элементов называются коэффициентами чувствительности

$$a_i = \frac{\partial F(\bar{V}_0)}{\partial v_i}, \quad i = 1, 2, \dots, n. \quad (3)$$

Нормированные коэффициенты чувствительности

$$b_i = \frac{\partial F(\bar{V}_0)/F(\bar{V}_0)}{\partial v_i/v_{0i}} = a_i \frac{v_{0i}}{F(\bar{V}_0)}$$

Метод приращения

Достоинство – универсальность. Недостатки – значительные вычислительные затраты и невысокая точность.

С учетом (3) выражение (2) принимает вид

$$\Delta F(\Delta \bar{V}) = \sum_{i=1}^n a_i \Delta v_i = \sum_{i=1}^n c_i, \quad (4)$$

где c_i – частные отклонения, характеризующие вклад i -ого параметра в изменение функции качества.

Допусковый анализ

Обозначим допуск на соответствующий параметр $\pm\varepsilon_i$, тогда $\Delta v_i = \pm\varepsilon_i$ и допуск на функцию качества запишется в виде:

$$\varepsilon_F = \sum_{i=1}^n a_i(\pm\varepsilon_i) \quad (5)$$

1. «Наихудший случай». Знак перед допуском принимается одинаковым со знаком соответствующего коэффициента чувствительности (т.е. все слагаемые положительны), тогда

$$\varepsilon_F = \sum_{i=1}^n |a_i|\varepsilon_i$$

2. «Случай граничных пар». Необходимо вычислить значение ε_F при всех возможных комбинациях знаков допусков ε_i . Для этого требуется вычислить ε_F при 2^n раз.

Допусковый синтез

1. *Метод равных отклонений*. Примем допуски на все параметры одинаковыми $\varepsilon_i = \varepsilon = \text{const}$, тогда (4) преобразуется к виду

$$\varepsilon_F = \varepsilon \sum_{i=1}^n |a_i|,$$

Откуда следует, что

$$\varepsilon = \frac{\varepsilon_F}{\sum_{i=1}^n |a_i|},$$

Разобьем все параметры на две группы: n_1 — «сильновлияющих» и $n_2 = n - n_1$ — «слабовлияющих». Вклад первых оценим коэффициентом k_1 , а вклад вторых — k_2 причем $k_2 + k_1 = 1$, тогда допуск для каждой группы получится свой

$$\varepsilon_1 = k_1 \frac{\varepsilon_F}{\sum_{i=1}^{n_1} |a_i|}, \quad \varepsilon_2 = k_2 \frac{\varepsilon_F}{\sum_{i=n_1+1}^n |a_i|}.$$

1. Метод равных влияний. Здесь равным для всех параметров принимается не допуск ε , а частное отклонение $c_i = |a_i|\varepsilon_i = c = const.$

Тогда из (4) следует

$$c = \varepsilon_F/n$$

и

$$\varepsilon_i = \frac{\varepsilon_F}{n|a_i|}.$$

Оптимизационные методы

Пусть целевая функция есть функция от допусков на параметры, а в качестве условия ограничения будет выступать выражение (5).

Простейшим случаем является случай максимального суммарного допуска, когда

$$F(\bar{X}) = \sum_{i=1}^n \varepsilon_i$$

Оптимизационные методы

И задача допускового синтеза примет вид

$$\max = \left\{ \sum_{i=1}^n \varepsilon_i \right\}, i = 1, 2, \dots, n$$
$$\sum_{i=1}^n |a_i| \varepsilon_i = \varepsilon_F.$$

Метод Монте-Карло

Допусковый анализ. Алгоритм действий.

1. Выполняется генерация случайной реализации вектора параметров радиоэлектронных устройств $V^{(k)}$ при этом каждая компонента вектора $v_i^{(k)}$, $i = 1, 2, \dots, n$ генерируется с соответствующими статистическими характеристиками (закон распределения, математическое ожидание, дисперсия, корреляция и т.п.).
2. Проводится моделирование радиоэлектронного устройства с данным вектором параметров и определяется реализация выходных параметров $H^{(k)}$.
3. По полученным выходным характеристикам вычисляется реализация функции качества $F^{(k)}$.
4. Заданное число раз повторяются шаги 1, 2, 3. Число повторений M зависит от требуемой точности статистического моделирования. Для ориентировочной оценки M можно воспользоваться формулой

$$M \geq \frac{1}{\Delta^2(1-P_d)},$$

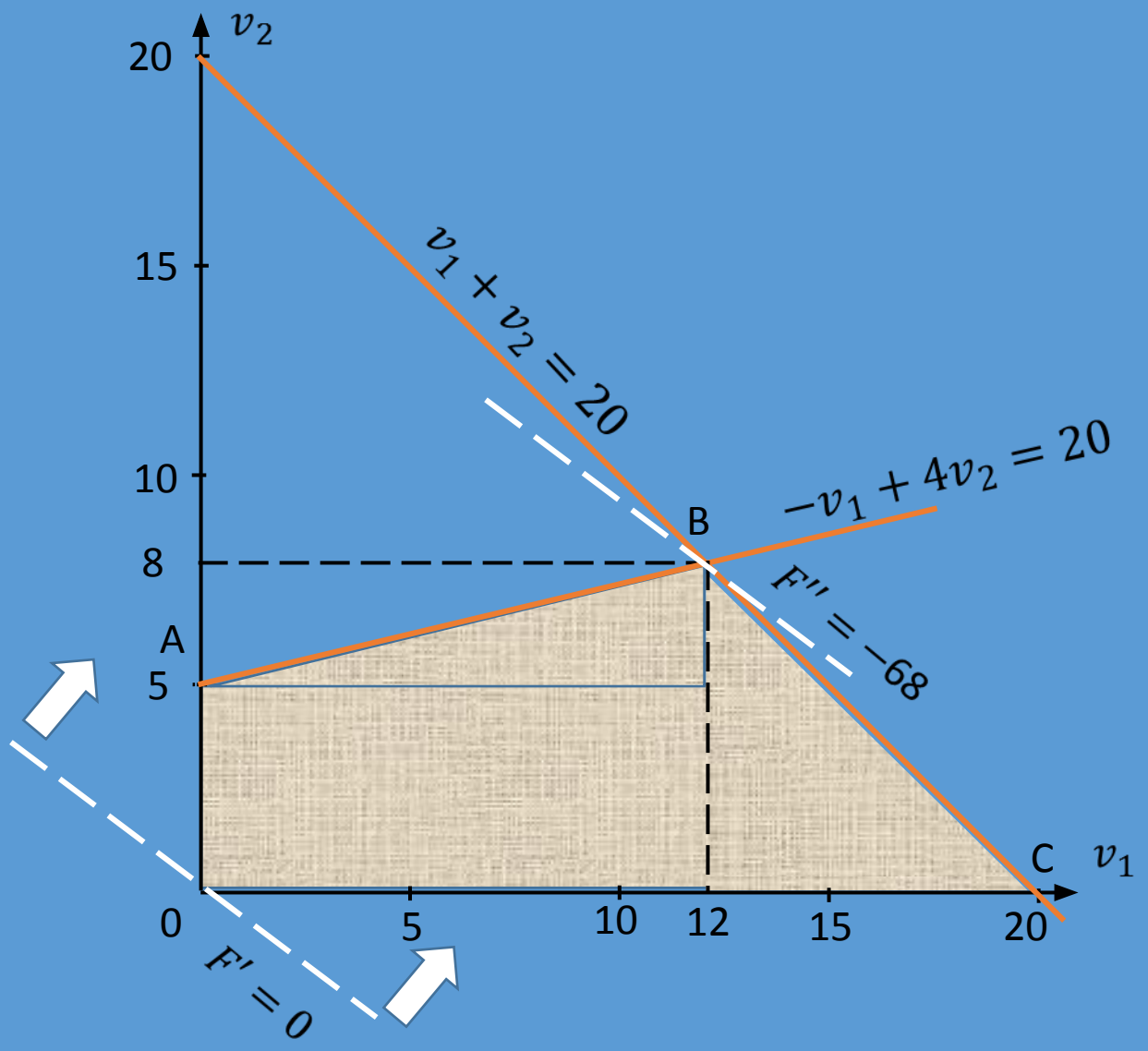
где Δ — требуемая точность, P_d — доверительная вероятность

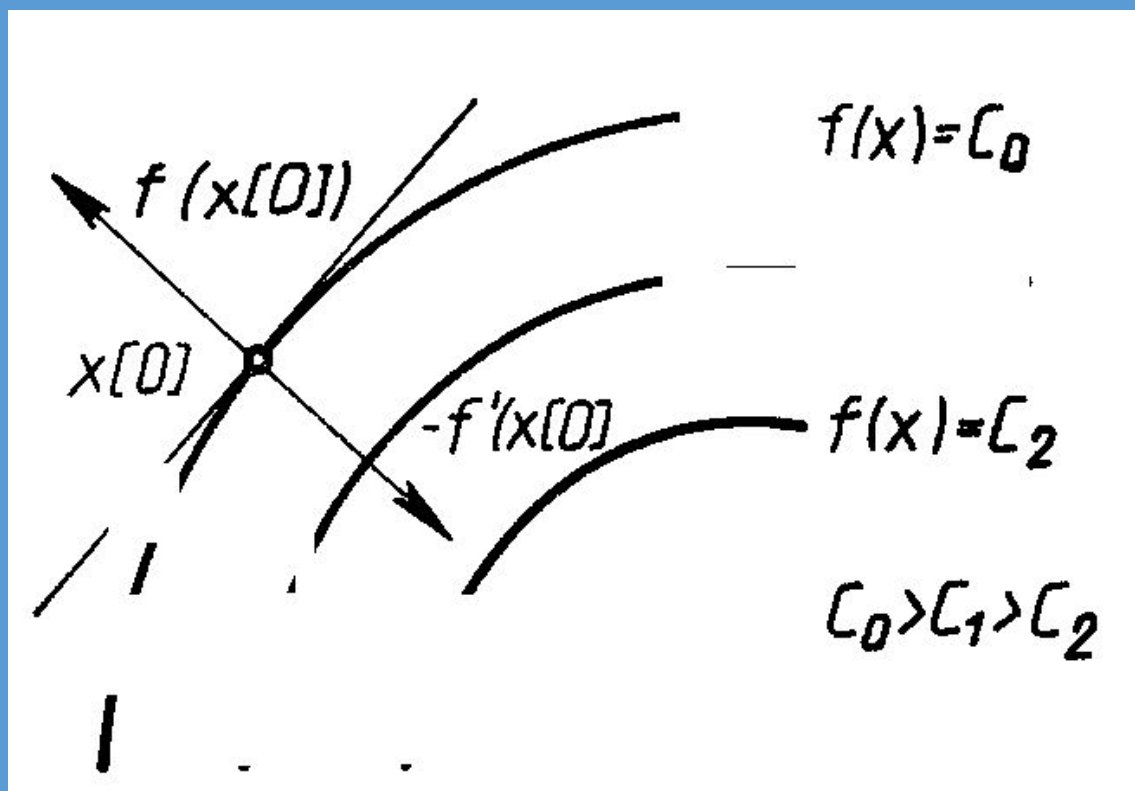
5. По найденной совокупности реализаций выходных характеристик $H^{(k)}, k = 1, 2, \dots, M$ выполняется их статистическая обработка. Например, определяется математическое ожидание, дисперсия, границы полей допусков и т.д.

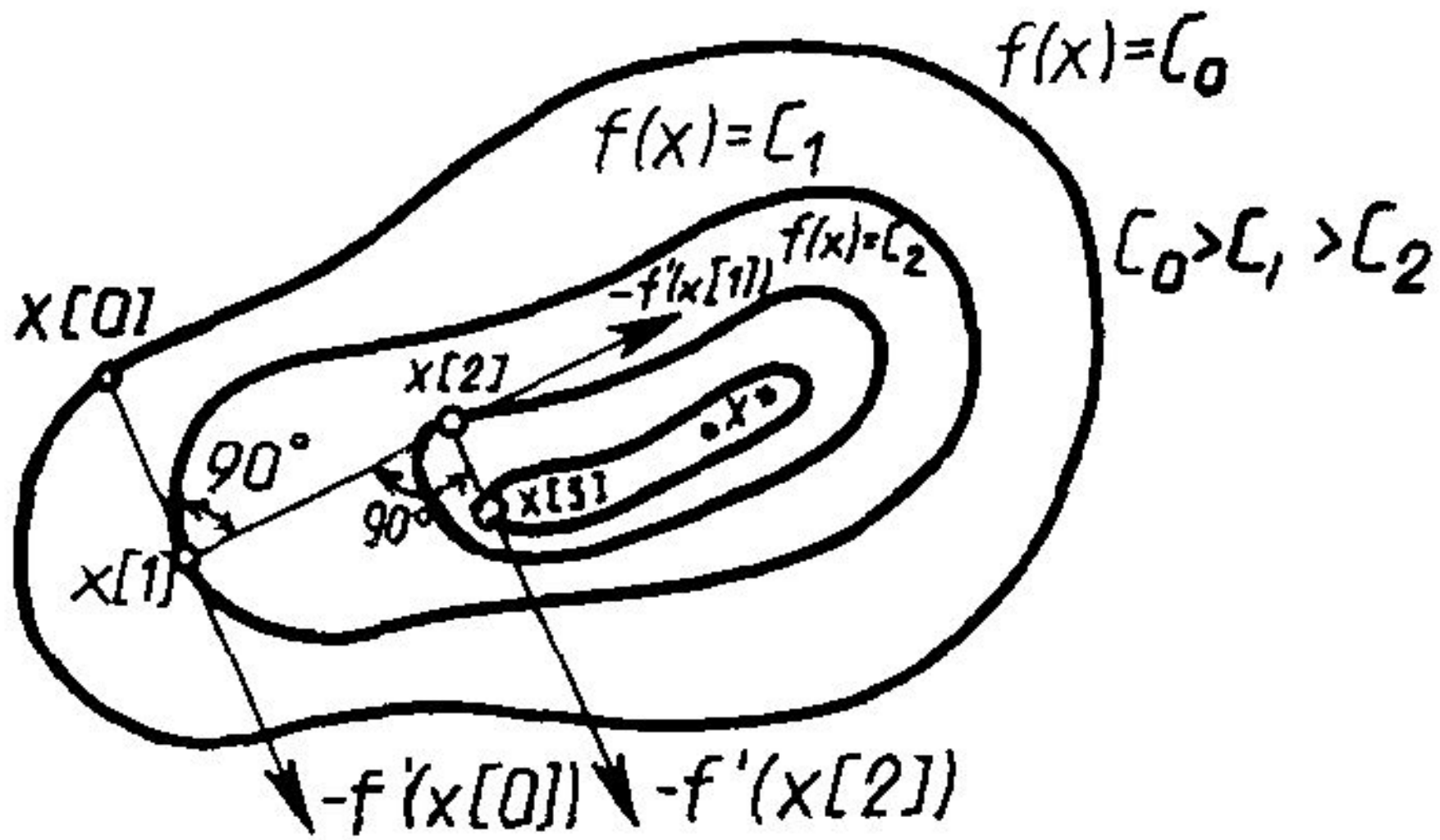
6. По полученным реализациям функции качества $F^{(k)}$ строится гистограмма распределений

Допусковый синтез. Алгоритм решения.

1. Задаются некоторые исходные разбросы параметров элементов.
2. Выполняются шаги 1...6 метода Монте Карло для допускового анализа
3. Результаты допускового анализа сравнивают с критериями допускового синтеза
4. Если результат статистического моделирования признан неудовлетворительным, то разбросы некоторых параметров (каких именно можно сказать по максимальным коэффициентам чувствительности) изменяются и алгоритм повторяется, начиная с пункта 2. Если же критерий выполняется, то текущие разбросы параметров принимаются за результаты допускового синтеза.







Устойчивость методов численного интегрирования

Пример

$$\frac{du(t)}{dt} = -\frac{u(t)}{\tau}$$

Точное решение уравнение имеет вид: $u(t) = U_0 e^{-\frac{t}{\tau}}$, таким образом $u(t) \rightarrow 0$ при $t \rightarrow \infty$, если цепь устойчива, т.е. если $\tau > 0$.

Для явного метода Эйлера

$$u_1 = U_0 - \frac{\Delta t}{\tau} U_0 = U_0 \left(1 - \frac{\Delta t}{\tau}\right) \text{ и т.д. } u_n = U_0 \left(1 - \frac{\Delta t}{\tau}\right)^n$$

Условие устойчивости решения (при $\tau > 0$)

$$\left|1 - \frac{\Delta t}{\tau}\right| \leq 1 \text{ или } \Delta t \leq 2\tau$$

Реакцию цепи второго и более высокого порядка можно представить в виде суммы экспонент

$$u(t) = \sum_{i=1}^n A_i e^{-\frac{t}{\tau_i}}$$

В этом случае максимальный шаг интегрирования явного метода Эйлера ограничен величиной

$$\Delta t \leq 2\tau_{min},$$

где τ_{min} — минимальная постоянная времени в цепи.

В случае неявного метода Эйлера, получим

$$u_n = \frac{U_0}{\left(1 + \frac{\Delta t}{\tau}\right)^n}.$$

Если $\tau > 0$ решение будет устойчиво при любых положительных значениях Δt .